

وزارة التعليم العالي  
MINISTERE DE L'ENSEIGNEMENT SUPERIEUR

المدرسة الوطنية المتعددة التقنيات  
BIBLIOTHEQUE — المكتبة —  
Ecole Nationale Polytechnique

ECOLE NATIONALE POLYTECHNIQUE

DEPARTEMENT : GENIE CHIMIQUE

**PROJET DE FIN D'ETUDES**

**S U J E T**

\* DETERMINATION DES PROPRIETES \*

\* \* \*

\* PHYSIQUES PAR NOMOGRAPHIE DES \*

\* \* \*

\* FRACTIONS LOURDES DU PETROLE \*

\* \* \*

Proposé par :

Pr.S.E.CHITOUR K . DALI

Etudié par :

Dirigé par :

Pr. S.E. CHITOUR

Mme. ABBAS.TURKI

PROMOTION : JUIN 90

وزارة التعليم العالي  
MINISTERE DE L'ENSEIGNEMENT SUPERIEUR

المدرسة الوطنية المتعددة التقنيات  
BIBLIOTHEQUE — المكتبة  
Ecole Nationale Polytechnique

## ECOLE NATIONALE POLYTECHNIQUE

DEPARTEMENT : GENIE CHIMIQUE

### PROJET DE FIN D'ETUDES

#### S U J E T

\* DETERMINATION DES PROPRIETES \*

\* \* \*

\* PHYSIQUES PAR NOMOGRAPHIE DES \*

\* \* \*

\* FRACTIONS LOURDES DU PETROLE \*

\* \* \*

Proposé par :

Pr.S.E.CHITOUR

Etudié par :

K . DALI

Dirigé par :

Pr. S.E.CHITOUR

Mme. ABBAS.TURKI

PROMOTION : juin 90

Ministere Deleque aux Universites  
Ecole Nationale Polytechnique  
Departement : Genie chimique  
Promoteur : Mr.Pr.S.E.CHITOUR  
Eleve ingenieur: Mr DALI KAMEL  
**T I T R E :** Determination des proprietes physiques par  
nomographie des fractions lourdes du pétrole

الوزارة المنتدبة للجامعات  
المدرسة الوطنية المتعددة التقنيات  
السازة: الصناعة الكيميائية  
الموسم: لاستاذ سيدور  
الى المدرس كمال دالي

الملخص:

يتمثل عملنا في إنشاء نموذج للحاصل على الخواص الفيزيائية والكيميائية بطرق بيانية للبترول (بناءً)  
رسمنا بطرق الاصناف (هي عباره عن عدد  
سلال يبع تختلف عن عد خطوط معينة) لاصناف  
ابراجيات (النفاثات) الأروماتيك والأروماتيات  
وطبقنا اطريقه على العواد انتوية وحلها من احوال  
النفاثة وأخير البترول.

Abstract :

We intend to make a graphic approach of the phisico-chemical properties of some heavy petroleum fractions.

We begin by making some nomograms for four different families (paraffines, naphtenes, olefines, aromatiques) and we have checked their accuracy for the pure compounds, mixtures of pure compounds and heavy petroleum fractions.

Résumé :

Notre travail consiste à faire une approche graphique des propriétés physico-chimiques des fractions pétrolières lourdes. Pour ce faire nous avons construit des nomogrammes (systèmes d'échelles à pivot) pour les quatre différentes familles (paraffines, naphtenes, olefines et aromatiques) et nous avons testé leurs validités pour des corps purs, mélanges de corps purs et enfin pour des fractions pétrolières lourdes dont la température d'ébullition est comprise entre 170 et 360 °C.

المدرسة الوطنية المتعددة التقنيات  
BIBLIOTHEQUE — المكتبة  
Ecole Nationale Polytechnique

" Ce travail s'inscrit dans le cadre d'un projet de valorisation  
des énergies fossiles dirigé par le Pr S.E.CHITOUR. "

## REMERCIEMENTS

Je tiens à exprimer mes vifs remerciements au professeur S.E.CHITOUR, directeur de recherche, qui a proposé et suivi de près ce travail dans le cadre d'un projet de recherche de valorisation des énergies fossiles.

J'adresse également mes sincères remerciements à madame F.ABBAS-TURKI pour l'aide précieuse et son suivi constant pendant la réalisation de ce projet.

J'adresse aussi mes sincères remerciements à madame R.DERRICHE pour l'amabilité avec laquelle, elle a bien voulu assurer la présidence du jury.

Que madame O.KITOUS trouve ici l'expression de ma gratitude, et reçoive mes remerciements pour avoir voulu juger ce travail.

Je tiens à remercier également tous ceux et celles qui ont contribué à ma formation. Que ceux qui m'ont aidé de près ou de loin, trouvent ici l'expression de mes profonds remerciements.

## S O M M A I R E

### INTRODUCTION GÉNÉRALE

#### PARTIE THÉORIQUE

##### I Rappels sur la nomographie

###### I.1 Introduction

###### I.2 Méthode analytique de construction d'une échelle à pivot

###### I.3 Abaque à système à pivot

##### II Etude des propriétés physiques des corps purs, de mélange de corps purs et des fractions pétrolières

###### II.1 Température d'ébullition

###### II.2 Densité

###### II.3 Viscosité

###### II.4 Masse moléculaire

###### II.5 Indice de réfraction

###### II.6 Refraction molaire

###### II.7 Tension superficielle

###### II.8 Etude des propriétés critiques (température, pression, volume)

###### II.9 propriétés thermiques

###### Chaleur spécifique

###### Chaleur latente de vaporisation

###### II.10 Point d'aniline

##### III Méthodes d'identification et de détermination de la composition des fractions pétrolières

###### III.1 Techniques d'analyse des fractions pétrolières

###### III.1.1 Analyse par chromatographie

###### III.1.2 Analyse par spectrométrie de masse

###### III.2 Détermination de la composition des fractions pétrolières

###### III.3 Détermination des paramètres utilisés pour la détermination de la composition des fractions pétrolières

###### III.3.1 Facteur de caractérisation Kuop

###### III.3.2 Indice de corrélation CI

###### III.3.3 Viscosité gravity constant VGC

#### PARTIE EXPERIMENTALE

##### IV.1 Introduction

##### IV.2 Détermination des caractéristiques du gas oil

##### IV.3 Distillation ASTM du gas oil

##### IV.4 Distillation sous vide d'un résidu atmosphérique

##### IV.5 Résultats de l'analyse chromatographique des fractions issues de la distillation sous vide du résidu atmosphérique

##### IV.6 Résultats obtenus par GC/MS

###### Gas oil

###### Fraction i du gas oil

##### IV.7 Détermination de la composition du gas oil et de la fraction i

PARTIE CALCUL ET APPLICATION

-Calcul des propriétés physico-chimiques des corps purs étudiés

V Construction des nomogrammes

    V.i Nomogramme pour les fonctions de type  $\beta = f(\alpha)$

    V.ii Nomogrammes pour les systèmes d'équation

VI Application des nomogrammes

    VI.1 Application aux corps purs

    VI.2 Application aux mélanges de corps purs

    VI.3 Application aux fractions pétrolières

CONCLUSION GÉNÉRALE

### NOTATIONS ET ABBREVIATIONS

A.S.T.M	: American Society for Testing Materials
Atm	: Atmosphere
C,K, F, R	: Degré celsius, Kelvin, Fahrenheit, Rankine.
Cm	: centimetre
Cg	: Point de congélation à 1 atm
Cal	: Calorie
Cp	: Chaleur spécifique
C.P.G	: Chromatographie en phase gazeuse
d	: Densité
GC/MS	: Couplage chromatographie phase gazeuse, spectrométrie de masse
g	: Gramme
Hc	: Chaleur de combustion
Hv	: Chaleur de vaporisation à la T <sub>eb</sub> et 1 atm
I	: Indice de corrélation
ml	: Millilitre
MM	: Masse molaire
n	: Indice de réfraction
n.d.m	: Indice de refraction - Densité - Masse molaire
n.d.PA	: Indice d'réfraction - Densité - Point d'aniline
NOM	: Nomogramme
PA	: Point d'aniline
P <sub>c</sub> ,T <sub>c</sub> ,V <sub>c</sub>	: Propriétés critiques ( Pression, Température, Volume )
RM	: Réfraction molaire
R <sub>i</sub>	: Réfractivité intercept
SpGR	: Specific gravity
T <sub>eb</sub>	: Température d'ébullition
T <sub>v</sub>	: Tension de vapeur
T <sub>s</sub>	: Tension superficielle
VA	: Viscosité absolue
VM	: Volume molaire
Z	: Conductivité
<sup>2</sup>	: Puissance
*	: produit

## INTRODUCTION

Il n'est pas nécessaire d'insister sur l'importance de la connaissance des propriétés thermodynamiques du pétrole brut et des fractions pétrolières, qui sont des mélanges très complexes contenant quelques centaines de constituants répartis en quelques familles. Le pétrochimiste ou le raffineur doit connaître, avec davantage de précision et de détails qu'autrefois, la qualité de chaque mélange pétrolier.

Il lui faut ainsi pouvoir disposer à tout moment, dans des délais relativement courts des principales caractéristiques du pétrole brut ou de ces fractions pétrolières dont il doit effectuer le traitement.

Pour répondre à ce besoin, nous avons été conduits à mettre au point une méthode graphique permettant la détermination d'une vingtaine de propriétés avec un écart d'erreur insignifiant en un temps court.

Nous avons mis sous forme d'abacuses des équations reliant les différentes propriétés entre elles. Le système d'équations est de la forme :

$$F_1(\alpha_1) = F_2(\alpha_2) = F_3(\alpha_3) = \dots = F_n(\alpha_n).$$

Ces fonctions doivent être monotones dans l'intervalle considéré.

Dans notre étude, nous avons pris un intervalle de température allant de 170 à 354°C correspondant aux coupes lourdes du pétrole.

**PARTIE**

**THEORIQUE**

## I. RAPPELS SUR LA NOMOGRAPHIE

### I.1 INTRODUCTION

La nomographie est un procédé graphique qui consiste à représenter des relations algébriques comportant plusieurs variables sous la forme de graphiques appelés nomogrammes.

La nomographie du grec (nomo=loi, graphein=écrire) cela signifie représentation graphique d'une loi.

Ce terme de nomographie a été adopté par le congrès international des mathématiques qui s'est tenu à Paris en 1890.

### I.2 MÉTHODE ANALYTIQUE DE CONSTRUCTION D'UNE ÉCHELLE À PIVOT

Soit l'relation entre deux variables et

$$\beta = f(\alpha) \quad (1.1)$$

et soient  $(\alpha_i, \beta_i)$  et  $(\alpha_f, \beta_f)$  les valeurs initiales et finales respectivement de  $\alpha$  et  $\beta$ .

Le but est de tracer une échelle à pivot qui nous permettra de déduire la valeur de  $\alpha$  à partir de la valeur de  $\beta$  ou vice versa.

### I.2.2 CONSTRUCTION DES ÉCHELLES À PIVOT

La condition nécessaire et suffisante pour pouvoir construire ces échelles à pivot est que la fonction  $\beta = f(\alpha)$  soit une fonction monotone dans l'intervalle  $[\alpha_i, \alpha_f]$ .

Prenons une fonction arbitraire  $\phi$  et cherchons l'image des deux membres de l'équation (1.1).

$$\phi(\beta) = \phi[f(\alpha)] \quad (1.2)$$

Introduisons maintenant les paramètres de transformation  $m$  et  $a$ .

$$a + m\phi(\beta) = a + m\phi[f(\alpha)] \quad (1.3)$$

$m$ : paramètre définissant la dimension de l'échelle.

$a$ : paramètre définissant la disposition de l'échelle par rapport à l'origine.

Soient deux repères  $xoy$  et  $x'o'z$  et soit  $h_1$  et  $h_2$  les abscisses des supports des échelles , .

Échelle $\beta$	$\alpha = h_1$	$y = a + m\phi(\beta)$	$xoy$
Échelle $\alpha$	$\alpha = h_2$	$z = a + m\phi(f(\alpha))$	$x'o'z$

On aura

$$\begin{aligned} y(\beta_i) &= z(\alpha_i) \\ y(\beta_f) &= z(\alpha_f) \end{aligned}$$

### I.2.3 DÉTERMINATION DU PARAMÈTRE $M$

En notant par  $L$  la longueur admissible de l'échelle à pivot, la valeur de  $m$  correspondant à  $L$  est obtenue par la relation suivante:

$$L = y(\beta_f) - y(\beta_i) = [a + m\phi(\beta_f)] - [a + m\phi(\beta_i)] \quad (1.4)$$

d'où on aura

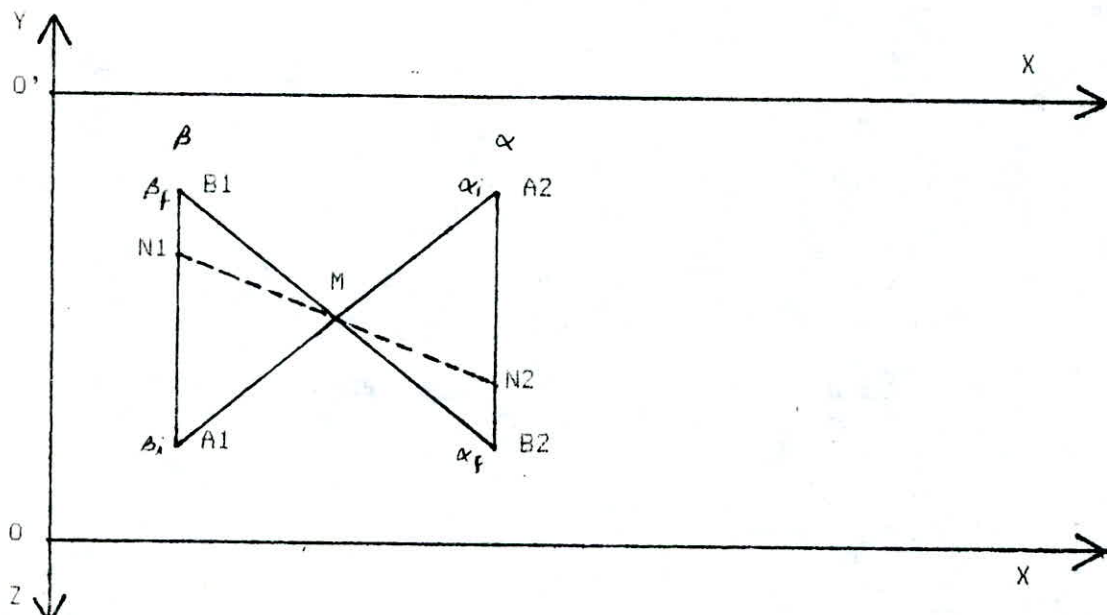
$$L = [\phi(\beta_f) - \phi(\beta_i)]m \quad (1.5)$$

et ainsi

$$m = L / [\phi(\beta_f) - \phi(\beta_i)] \quad (1.6)$$

#### I.2.4 TRACE DES ECHELLES A PIVOT

Soient  $(A_1, A_2)$  les points qui correspondent respectivement à  $(\beta_i, \alpha_i)$  et soient  $(B_1, B_2)$  les points qui correspondent respectivement à  $(\beta_f, \alpha_f)$ . Le point d'intersection des segments  $[A_1 A_2]$  et  $[B_1 B_2]$  correspond au point pivot M.



#### I.2.5 UTILISATION ET APPLICATIONS

Soit le point  $N_1$  sur l'échelle  $\beta$ , le point  $N_2$  sur l'échelle qui correspond à  $N_1$  est donné par l'intersection de la droite  $(N_1 M)$  avec le segment  $[A_2 B_2]$ .

Ce type d'abaque est appliquée aux fonctions monotones de type  $\beta = f(\alpha)$ .

#### I.3 ABAQUE A SYSTEME A PIVOT

##### I.3.1 INTRODUCTION

Généralisons la méthode des échelles à pivot au cas d'un système d'équation de la forme:

$$f_1(\alpha_1) = f_2(\alpha_2) = f_3(\alpha_3) = \dots = f_n(\alpha_n) \quad (1.6)$$

Soient  $(\alpha_{i1}, \alpha_{i2}, \alpha_{i3}, \dots, \alpha_{in})$  les valeurs initiales des variables

$(\alpha_1, \alpha_2, \alpha_3, \dots, \alpha_n)$  respectivement.

Soient  $(\alpha_{f1}, \alpha_{f2}, \alpha_{f3}, \dots, \alpha_{fn})$  les valeurs finales des variables  $(\alpha_1, \alpha_2, \alpha_3, \dots, \alpha_n)$  respectivement.

n: nombre de fonction ( $n \geq 2$ )

Par analogie avec l'échelle à pivot on peut écrire les équations des éléments de l'abaque d'un système d'échelle à pivot.

### I.3.2 CONSTRUCTION DES ECHELLES

Soient deux repères  $xoy$  et  $xoz$  et  $h_1, h_2, h_3, \dots, h_n$  les abscisses des supports des échelles  $\alpha_1, \alpha_2, \alpha_3, \dots, \alpha_n$ .

Deux cas peuvent se présenter.

Cas où n est pair

Echelle  $\alpha_1$        $\alpha = h_1$

Echelle  $\alpha_2$        $\alpha = h_2$

Echelle  $\alpha_3$        $\alpha = h_3$

$$y = a + m \phi[f(\alpha_1)]$$

$$z = a + m \phi[f(\alpha_2)]$$

$$y = a + m \phi[f(\alpha_3)]$$

.

.

.

.

.

.

Echelle  $\alpha_n$        $\alpha = h_n$

$$z = a + m \phi[f(\alpha_n)]$$

On aura

$$y(\alpha_{11}) = z(\alpha_{12}) = y(\alpha_{13}) = \dots = z(\alpha_{1n})$$

$$y(\alpha_{f1}) = z(\alpha_{f2}) = y(\alpha_{f3}) = \dots = z(\alpha_{fn})$$

Si L est la longueur admissible de l'échelle alors la relation qui nous donnera la valeur du paramètre m sera la suivante:

$$m = L / [ (f(\dots)) - (f(\dots)) ] \quad (1.7)$$

Cas où n est impair

Echelle  $\alpha_1$        $\alpha = h_1$

Echelle  $\alpha_2$        $\alpha = h_2$

Echelle  $\alpha_3$        $\alpha = h_3$

$$y = a + m \phi[f(\alpha_1)]$$

$$z = a + m \phi[f(\alpha_2)]$$

$$y = a + m \phi[f(\alpha_3)]$$

.

.

.

.

Echelle  $\alpha_n$        $\alpha = h_3$

$$y = a + m \phi[f(\alpha_n)]$$

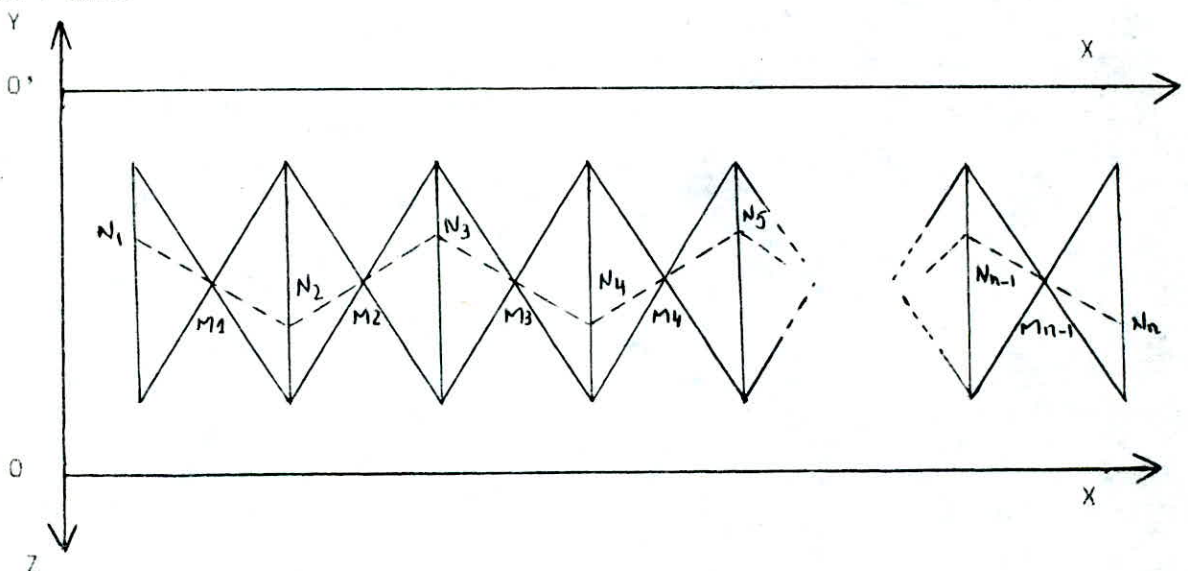
$$y(\alpha_{11}) = z(\alpha_{12}) = y(\alpha_{13}) = \dots = y(\alpha_{1n})$$

$$y(\alpha_{f1}) = z(\alpha_{f2}) = y(\alpha_{f3}) = \dots = y(\alpha_{fn})$$

### 1.3.3 TRACE DES ECHELLES

Soient  $(A_1, A_2, A_3, \dots, A_n)$  les points qui correspondent respectivement à  $(\alpha_{11}, \alpha_{12}, \alpha_{13}, \dots, \alpha_{1n})$  et soient  $(B_1, B_2, B_3, \dots, B_n)$  les points qui correspondent respectivement à  $(\alpha_{f1}, \alpha_{f2}, \alpha_{f3}, \dots, \alpha_{fn})$ . Les points pivots  $M_1, M_2, M_3, \dots, M_n$  sont définis par:  
 $M_1$  est l'intersection du segment  $[A_1 A_2]$  avec le segment  $[B_1 B_2]$   
 $M_2$  est le point d'intersection du segment avec le segment  $[B_2 B_3]$

$M_n$  est le point d'intersection du segment  $[A_{n-1} A_n]$  avec le segment  $[B_{n-1} B_n]$ .



### 1.3.4 UTILISATION ET APPLICATIONS

Soit le point  $N_1$  sur l'échelle  $\alpha_1$ , le point  $N_2$  sur l'échelle  $\alpha_2$  qui correspond à  $N_1$  est le point d'intersection du segment  $[N_1 M_1]$  avec le segment  $[A_2 B_2]$  et le point  $N_3$  sur l'échelle  $\alpha_3$  qui correspond à  $N_1$  est donné par le point d'intersection des segments  $[N_1 M_2]$  et  $[A_3 B_3]$  et ainsi de suite jusqu'à obtention du point  $N_n$  sur l'échelle  $\alpha_n$ . Ce type de nomogrammes est appliqué aux systèmes d'équation de type  $f_1(\alpha_1) = f_2(\alpha_2) = f_3(\alpha_3) = \dots = f_n(\alpha_n)$ .  $f_1, f_2, f_3, \dots, f_n$  sont des fonctions monotones sur l'intervalle  $[\alpha_{11}, \alpha_{1n}]$ .

### III. ETUDE DES PROPRIETES PHYSIQUES DES CORPS PURS, DES MELANGES DE CORPS PURS ET DES FRACTIONS PETROLIERES

#### III.1 TEMPERATURE D'EBULLITION

Dans le cas d'un corps pur la détermination de la température d'ébullition à la pression atmosphérique (température d'ébullition normale) est facile à atteindre. Par contre le problème devient plus compliqué quand il s'agit d'un mélange de plusieurs constituants.

##### III.1.1 TEMPERATURE D'EBULLITION D'UN MELANGE DE CORPS PURS

Dans ce cas la température d'ébullition n'a pas de sens puisque la transformation du liquide en vapeur s'effectue sur un intervalle de température plus ou moins grand.

La température d'ébullition moyenne des mélanges complexes est donnée par la température du point 50% de distillation (pourcentage distillé en volume tv, en poids tp ou en mole tm).

Aucune de ces trois températures ne donne la vraie température d'ébullition. On convient alors de définir la température moyenne pondérée ou température "mean average" tmav qui correspond à la valeur moyenne des trois valeurs moyennes.

La mesure du point d'ébullition fait l'objet de la norme D.2892.

##### III.1.2 TEMPERATURE D'EBULLITION D'UN FRACTION PETROLIERE

Pour une fraction pétrolière étroite, ces trois températures moyennes (tv, tp, tm) sont pratiquement identiques, pour cela la tmav peut s'identifier à l'une de ces trois températures.

#### III.2 DENSITE

La densité étant définie comme étant le rapport du poids d'un certain volume d'échantillon à une température t au poids du même volume d'eau à une température standard (généralement on prend l'eau à une température de 4°C).

La mesure de la densité fait l'objet de la norme NF T60-101.

$$d = \frac{\text{poids d'un volume de produit à } 20^{\circ}\text{C}}{\text{poids du même volume d'eau à } 4^{\circ}\text{C}}$$

La densité d'un corps pur, d'un mélange de corps purs ou d'une fraction pétrolière est l'une des grandeurs facilement accessible expérimentalement.

D'autre part la densité est une propriété additive, il est donc possible d'avoir sa valeur pour n'importe quel mélange de corps purs ou de fraction pétrolière en sommant la densité de chaque petite fraction.

$$d = (\sum x_i d_i) / (\sum x_i) \quad (2.2)$$

Xi: fraction molaire .

di: densité de la fraction.

Dans les pays anglo-saxons ,on parle plutot de "specific gravity" qui est definie par deux températures standards:60F; et pour mesurer la densité les américains utilisent le degré A.P.I qui est une fonction hyperbolique de la specific gravity (SpGr).

$$\text{SpGr} = \frac{\text{poids d'un volume de produit à } 60\text{F}}{\text{poids d'un même volume d'eau à } 60\text{F}} \quad (2.3)$$

$$\text{Degree A.P.I} = (141.5/\text{SpGr}) - 131.5 \quad (2.4)$$

A.P.I ;Américain pétroleum institute

REMARQUE:

Excepté pour des calculs nécessitant une très grande précision, on a toujours confondu SpGr avec la densité à 15C.

En réalité

$$d(15C) = 0.99904 * \text{SpGr}$$

### II.3 LA VISCOSITÉ

La viscosité est la résistance interne qui s'oppose à l'écoulement d'un fluide et qui est provoquée par le frottement des molécules les unes contre les autres.

La viscosité d'un corps pur ,d'un mélange de corps purs ou d'une fraction pétrolière est une propriété facilement accessible au laboratoire ,cet essai fait l'objet de la norme NF T60-100.

Contrairement à la densité ,la viscosité est une propriété non additive seul le logarithme de la viscosité est ponderable.

Il existe plusieurs méthodes qui nous permettent de calculer la viscosité.

#### II.3.1 METHODE D'ORRICK ET ERBAR

$$\ln(V_a / d^*M) = A + B/T \quad (2.5)$$

V<sub>a</sub>: viscosité absolue en cpoise.

d : densité à 20C (g/cm<sup>3</sup>).

M : masse moléculaire (g).

T : température d'ébullition.(K)

A et B constantes dépendants de la contribution de groupe.

Elles sont données dans des tables.(ref 7).

#### II.3.2.METHODE DE THOMAS

$$\log(8.569 * V_a / d^{.5}) = \Theta(1/T_r - 1) \quad (2.6)$$

V<sub>a</sub>: viscosité absolue en c.poise

d : densité en g/cm<sup>3</sup>.

$\Theta$  : constante de viscosité donnée dans la littérature. (ref.7)

T<sub>r</sub>: température réduite.

#### II.3.3. METHODE DE VAN VELZEN , CABDOZO ET LANGENKAMP

$$\log V_a = B(1/T - 1/T_0) \quad (2.7)$$

$\eta_a$ : viscosité absolue en poise.

T : température.(K).

B et T: paramètres dépendant de structure du corps. (ref7)

## II.4. LA MASSE MOLÉCULAIRE

La connaissance de la masse moléculaire est nécessaire pour le calcul du bilan massique . La détermination de la masse moléculaire ne pose pas de problème pour un corps pur ou un mélange de corps purs .

Il est en effet possible d'écrire :

$$M = (\sum M_i X_i) / \sum X_i$$

$X_i$  : fraction molaire

$M_i$  : masse moléculaire

Pour une fraction pétrolière nous avons recours à des corrélations faisant intervenir des grandeurs physiques différentes .

### II.4.1.1 CORRÉLATION DE M.ROBERT

Cette corrélation est une relation linéaire entre l'indice de réfraction et  $n_{20}$ , la densité  $d_{20}$  et le point d'enflame P.A.

$$M = 1.70545 * n_{20} + 792.93 * d + 4.553 * P.A - 3287 \quad (2.8)$$

### II.4.2 MÉTHODE DE HERSCU

$$\log M = 0.001978 * T_{eb} + 1.9394 + \log(2.1500 - n_{20}).$$

$T_{eb}$ : température d'ébullition en °C

$n_{20}$ : indice de réfraction.

### II.4.3. MÉTHODE DE HUANG

$$M = 7.7776E-06 * T_{eb}^{(-2.1197)} * I^{(-2.089)} * d \quad (2.10)$$

$M$ : masse moléculaire.

$T_{eb}$ : température d'ébullition.

$d(20^{\circ}C)$  : densité

I: facteur de caractérisation.

## II.5 LE VOLUME MOLAIRE

Le volume molaire d'une substance est le volume d'une mole de cette substance dans les conditions de température et de pression.

### II.5.1 ESTIMATION DU VOLUME MOLAIRE AU POINT D'EBULLITION NORMALE

Schroeder a suggéré la règle suivante fort et simple ,qui consiste à compter le nombre d'atomes de carbones ,d'ajouter un (01) pour chaque double liaison et de multiplier la somme par sept (07).Le résultat donnera le volume en centimètre cube par gramme mole cette règle est très pratique et les écarts ne sont que de 3 à 4%.

Tym et Calus donnent une relation qui relie le volume molaire VM(cm<sup>3</sup>/g)

mole) au volume critique VC (cm<sup>3</sup> g mole)

$$VM = 0.285 * VC^{1.048} \quad (2.11)$$

L'erreur maximum est de 3% , avec cette méthode, le volume critique doit être connu avec précision.

### III.5.2 VOLUME MOLAIRE D'UNE EBACIION PETROLIERE

Il est possible de déduire le volume molaire d'une fraction pétrolière, en se basant sur les états correspondants, connaissant la masse molaire d'une fraction pétrolière et son k.u.o.p , on peut espérer en déduire une formule brute, qui peut nous permettre d'appliquer la méthode additive .  
On peut de même connaissant par chromatographie en phase gazeuse les constituants principaux d'une fraction pétrolière en qualité et en quantité reconstituer la valeur du volume molaire .

### III.6 INDICE DE REFRACTION

Cet essai fait l'objet de la norme D.1218

L'indice de réfraction est une propriété physique que l'on peut déterminer facilement au laboratoire à l'aide d'un réfractomètre.

L'indice de réfraction présente un grand intérêt non seulement pour les corps/ purs , mais aussi pour les mélanges de corps purs et les fractions pétrolières.

Pour les hydrocarbures , l'indice de réfraction est d'autant plus petit que la teneur relative en hydrogène est plus élevée.

### III.7 REFRACTION MOLAIRE

La réfraction spécifique est une propriété qui dépend de l'indice de réfraction, elle est donnée par la relation:

$$R = (n^2 - 1) / (n^2 + 2) * d \quad (2.12)$$

d : densité du produit mesuré à la même température que l'indice de réfraction.

Le produit de la réfraction spécifique par la masse moléculaire est dit réfraction, c'est une propriété additive pour les corps purs , elle est donnée par la relation suivante .

$$RM = (n - 1)M = (n - 1)VM \quad (2.14)$$

M : masse moléculaire .

VM: volume molaire.

d : densité.

n : indice de réfraction

### III.8 TENSION SUPERFICIELLE

pour augmenter la surface d'un liquide d'une substance s, il est nécessaire pour vaincre les forces de cohésion entre les molécules de fournir une énergie G<sub>s</sub> ,

la grandeur qui caractérise une surface sera le travail à fournir pour augmenter sa surface libre d'une unité d'aire .Cette grandeur est

appelée tension superficielle. on la désigne par  $T_s$  et exprimée en dyne/cm.

La tension superficielle est une grandeur qui peut être déterminer directement au laboratoire , cet essai fait l'objet de la norme D 971.50  
Pour éstimer la tension superficielle des mélanges on fait appel à des corrélations empiriques.

### II.8.1 ESTIMATION DE LA TENSION SUPERFICIELLE DES LIQUIDES PURS

#### II.8.1.1 RELATION D'OTHMER

Othmer a proposé la relation suivante

$$T_s = T_{so}[(T_c - T)/(T_c - T_0)]^n \quad (2.4)$$

$T_s$  : tension superficielle à la température  $T$  en dyne/cm.

$T_{so}$ : tension superficielle à la température  $T_0$  en dyne/cm.

$T$  et  $T_0$  température en degré°C.

$T_c$  : température en degré°C.

$n$  : paramètre dépendant de la nature du liquide.

#### II.8.1.2 CORRELATION DES ÉTAIS CORRESPONDANTS

Les travaux de Vander walls,de Brock et Bird et de Miller ont permis d'établir la relation suivante.

$$T_s = P_c^{2/3} * T_c^{1/3} * Q (1 - Tr)^{11/9} \quad (2.15)$$

$$Q = 0.1207(1 + \frac{T_{bc}}{T_{br}} \ln P_c) - 0.281 \quad (2.16)$$

$T_c$  : température critique en degréK.

$P_c$  : pression critique en atmosphère.

$T_{br}$  : température d'ébullition réduite.

### II.8.2 ESTIMATION DE LA TENSION SUPERFICIELLE DE MÉLANGE DE CORPS PURS

A basse pression il est possible d'estimer la tension superficielle des mélanges de liquides en utilisant la relation de Macleod Sugden

$$T_{sm} = \rho_m \sum X_i T_{si}^{-0.25} \rho_i^{-1} \quad (2.17)$$

$T_{sm}$  : tension superficielle du mélange en dyne/cm.

$\rho_m$  : densité du mélange liquide en g/mole/cm<sup>3</sup>

$X_i$  : fraction molaire du constituant i.

$T_{si}$  : tension superficielle du mélange i.

$\rho_i$  : densité du constituant i.

### II.8.3 ESTIMATION DE LA TENSION SUPERFICIELLE D'UNE FRACTION PÉTROLIÈRE

En supposant la propriété additive on utilise la relation

$$T_s = (\sum T_{si} X_i) / (\sum X_i) \quad (2.18)$$

$T_s$  : tension superficielle de la fraction pétrolière en dyne/cm.

$T_{si}$  : tension superficielle du constituant i.

$x_i$  : fraction molaire du constituant i.

### III.9 TENSION DE VAPEUR

La tension de vapeur mesure la tendance des molécules à s'échapper d'une phase liquide pour engendrer une phase vapeur en équilibre thermodynamique.

La tension de vapeur est une propriété additive .Cet essai fait l'objet de la norme NF M07.007.

#### III.9.1 TENSION DE VAPEUR D'UN CORPS PUR

Il existe plusieurs équations qui nous donnent la tension de vapeur à une température,parmi ces équations on cite:

##### III.9.1.1 EQUATION DE CLAPEYRON

$$\frac{dp_v}{dT} = \frac{h_v}{T h_v} = \frac{h_v}{T(V_g-V_l)} \quad (2.19)$$

$p_v$  :tension de vapeur.

T :température en degré°K.

$V_g-V_l$  :variation du volume.

$h_v$  :chaleur de vaporisation molaire.

##### III.9.1.2 EQUATION D'ANTOINE

Antoine a proposé une équation empirique pour la détermination de la pression de vapeur d'un hydrocarbure

$$\ln p_v = A - B/(T+C) \quad (2.20)$$

$p_v$  :tension de vapeur

T :température en degré°K

A,B,C : constantes d'Antoine (ref 5)

##### III.9.1.3 EQUATION DE RIEDEL

Riedel a proposé l'équation suivante

$$\ln p_v = A + B/T + C \cdot \ln T + D \cdot T^E \quad (2.21)$$

$p_v$  :tension de vapeur.

A,B,C,D : constantes.

T :température d'ébullition en degré°K.

#### III.9.2 TENSION DE VAPEUR D'UN MÉLANGE DE CORPS PURS

Comme la tension de vapeur est une propriété additive,la tension de vapeur d'un mélange de corps purs est donnée par:

$$p_v = \sum p_{vi} x_i \quad (2.22)$$

$p_v$  :pression de vapeur du mélange de corps purs.

$p_{vi}$  :pression de vapeur du constituant i.

t :température d'ébullition en degré°K.

### II.9.3 TENSION DE VAPEUR D'UNE FRACTION PÉTROLIERE

La tension de vapeur d'une fraction pétrolière peut se mesurer comme celle d'un corps pur.

Il existe des abaques qui permettent aussi de déterminer cette tension de vapeur (ref 8)

### II.10 ÉTUDE DES PROPRIÉTÉS CRITIQUES

La connaissance des propriétés critiques des corps purs, des mélanges de corps purs et des fractions pétrolières permet d'estimer les propriétés inaccessibles expérimentalement.

#### II.10.1 CORPS PURS

La température et la pression étant les caractéristiques des hydrocarbures qui définissent le point limite supérieur de la courbe de tension de vapeur au delà duquel le changement de phase n'est plus observé.

Le point critique correspond à l'identité parfaite des propriétés du liquide et de la vapeur: indice de réfraction, densité, etc...

En particulier en ce point la chaleur de vaporisation devient nulle.

Pour chaque famille d'hydrocarbures les points critiques sont distribués sur les courbes dans le diagramme tension de vapeur température.

Pour étudier les variations d'un certain nombre de propriétés physiques en fonction de la pression et de la température, on utilise assez souvent les fonctions suivantes:

Température réduite:  $T_r = T/T_c$

Pression réduite :  $P_r = P/P_c$

#### II.10.1.1 ESTIMATION DES PROPRIÉTÉS DES CORPS PURS

##### A) MÉTHODE DE LYDERSEN

$$T_c = T_{eb} * [0.567 + \sum \Delta T - (\sum \Delta T)^2]^{-1}$$

$$P_c = M * [0.34 + \sum \Delta P]^{-2} \quad (2.23)$$

$$V_c = 40 + \sum \Delta V$$

$T_c$  : température critique en degré K.

$T_{eb}$  : température d'ébullition en degré K.

$P_c$  : pression critique en atmosphère.

M : masse moléculaire en gramme.

$V_c$  : volume molaire en centimètre cube.

$\sum \Delta T, \sum \Delta P, \sum \Delta V$ , sont des incrémentations évaluées par sommation des groupements d'atomes et leurs valeurs sont tabulées. (ref 1)

##### B) MÉTHODE DE NOOKAY

$$\log T_c = A + B * \log SpGr + C * \log T_{eb} \quad (2.24)$$

$T_c$  : température critique en degré K.

$T_{eb}$  : température d'ébullition en degré K.

$SpGr$  : specific gravity de l'hydrocarbure à 60°F.

A,B,C: constantes données dans la littérature. (ref 1 et 7)

### II.10.2 ESTIMATION DES PROPRIÉTÉS CRITIQUES D'UN MÉLANGE DE CORPS PURS

La pression critique et la température critique d'un mélange d'hydrocarbures peuvent être obtenues à l'aide d'abaque. Li a suggéré que si la composition est exprimée comme suit:

$$Y_j = \Sigma Y_i V_{ci} / (\Sigma Y_i V_{cj}) \quad (2.25)$$

La vraie température critique du mélange peut être estimée par la relation suivante:

$$T_{ct} = \sum \Phi_j T_{cj} \quad (2.26)$$

$Y_j$  : fraction molaire du constituant j.

$V_{cj}$  : volume critique du constituant j.

$T_{cj}$  : température critique du constituant j.

$T_{ct}$  : vraie température critique.

### II.10.3 FRACTION PÉTROLIERE

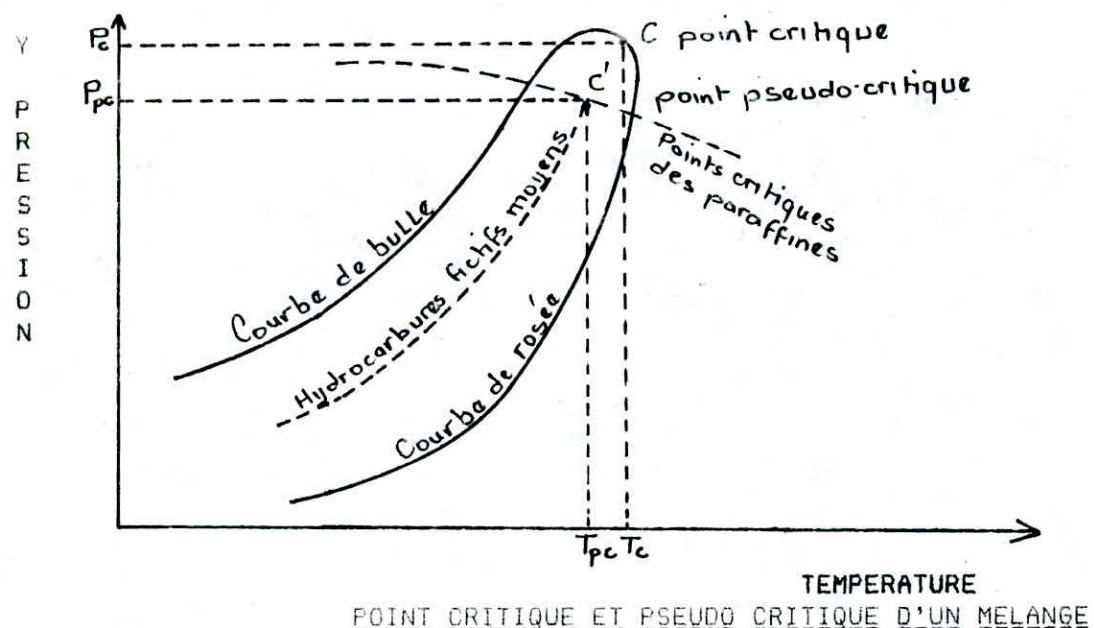
Pour une fraction pétrolière la courbe de tension de vapeur se décompose en deux courbes (bulle et rosée) définissant ainsi un domaine d'existence liquide-vapeur.

Les deux courbes se rejoignent en un point "C" qui définit les coordonnées du mélange ( $T_c$  et  $P_c$ ).

En assimilant la fraction pétrolière à un hydrocarbure fictif ayant une tension de vapeur comprise entre la courbe de bulle et de rosée de la fraction.

Cet hydrocarbure aurait un point critique vrai situé entre la courbe de bulle et de rosée, que l'on appellera le point pseudo critique de la fraction, ces coordonnées pseudocritiques sont  $T_{pc}$  et  $P_{pc}$ .

Ces coordonnées pseudocritiques seront utilisées de la même manière que les coordonnées critiques.



La détermination de ces coordonnées pseudo critique s'opère de la manière suivante. Pour un mélange fini de constituants, en ponderant moléculairement les températures et pression critique des hydrocarbures composant le mélange.

Pour une fraction complexe, on utilisera des corrélations empiriques faisant intervenir la température d'ébullition moyenne, la densité et le facteur de caractérisation (kuop) de la fraction.

### III.11 PROPRIÉTÉS THERMIQUES

Si la détermination des propriétés thermiques d'un corps pur (enthalpie de vaporisation, chaleur spécifique) est relativement facile à atteindre expérimentalement, il est par contre difficile d'accéder aux propriétés thermiques d'une fraction pétrolière par des essais directs au laboratoire pour cela nous avons le plus souvent recours aux équations empiriques.

#### III.11.1 CHALEUR SPÉCIFIQUE

Pour les hydrocarbures gazeux, il est recommandé d'utiliser les équations suivantes:

$$\text{Entre } 50 \text{ et } 1400^\circ\text{F} \quad C_p = a + b \cdot T + c \cdot T^2 \quad (2.27)$$

$$\text{Entre } -500 \text{ et } 200^\circ\text{F} \quad C_p = 7.95 + u \cdot T^2 \quad (2.28)$$

T : température en degrés °R.

u, a, b, c : constantes.

La relation de Lauria et de Benson représente la variation du  $C_p$  avec la température en dessous de la température d'ébullition.

$$C_p = A + B \cdot T + C \cdot T^2 + D \cdot T^3 \quad (2.29)$$

$C_p$  : chaleur spécifique exprimée en cal/g mole K.

A, B, C, D : constantes.  
Pour le calcul de la chaleur spécifique nous utilisons la méthode de contribution de groupe de Cheh et Swanson (refi).

#### III.11.2 CHALEUR SPÉCIFIQUE D'UN MÉLANGE DE CORPS PURS

La chaleur spécifique d'un mélange de corps purs peut être déterminer comme celle d'un corps pur au laboratoire c'est à dire à l'aide d'une bombe calorimétrique.

#### III.11.3 CHALEUR SPÉCIFIQUE D'UNE FRACTION PÉTROLIERE

Pour les fractions pétrolières, il est recommandé d'utiliser l'équation empirique suivante:

$$C_p = (0.0450 \cdot K + 0.233) + (0.440 + 0.01777 \cdot K) \cdot E^{-3} \cdot t - 0.1530 \cdot E^{-6} \cdot t^2 \quad (2.31)$$

t : température comprise entre 0 et 1400°F.

K : facteur de caractérisation kuop.

Faision et Watson ont établi une équation empirique pour déterminer la capacité calorifique des hydrocarbures liquides et des fractions

pétrolières aux alentours de 0F et aux températures réduites de 0.85.

$$C_p = [(.355+.128E-2 \text{ API}) + (.503+.117E-2 \text{ API})E-3*t] * [.05*K+.41] \quad (2.32)$$

t : température exprimée en degré F.

K : facteur de caractérisation kuop.

En supposant que  $C_p = C_{pi}X_i / X_i$ , la chromatographie en phase gazeuse nous permet d'estimer la capacité calorifique d'une fraction pétrolière

$C_p$  : capacité calorifique de la fraction pétrolière.

$C_{pi}$  : capacité calorifique du constituant i.

$X_i$  : fraction molaire du constituant i.

## III.11.4 CHALEUR LATENTIE DE VAPORISATION

la chaleur de vaporisation d'un corps pur est la quantité de chaleur à fournir à l'unité de poids d'un corps pur pour le transformer en vapeur. Elle s'exprime en calorie par gramme ou Btu/Lb.

$$1Btu/Lb = 5.9 \text{ Cal/g}$$

### III.11.4.1 CHALEUR LATENTIE DE VAPORISATION D'UN CORPS PUR

La chaleur latente de vaporisation d'un corps pur peut être obtenue à l'aide de la relation de Clapeyron

$$\Delta H_v = R*T(-\ln P_v + \text{cte}) \quad (2.34)$$

Pour les hydrocarbures purs, il est possible d'estimer la chaleur de vaporisation en utilisant :

#### A) LOI DES ETATS CORRESPONDANTS

$$d(\ln P_{vr}) / d(1/T_r) = - (\Delta H_v / RT_c) * (1/\Delta Z_v) \quad (2.34)$$

$-\Delta H_v / RT_c$  : enthalpie de vaporisation réduite et dans ce cas fonction de deux paramètres,  $Z_v$  et  $d(\ln P_{vr}) / d(1/T_r)$

$P_{vr}$  : pression de vapeur réduite.

$\Delta Z_v$  : incrément.

$T_r$  : température réduite.

#### B) CORRELATION DE RIIZER

Cette corrélation fait intervenir le facteur acentrique  $w$ , qui est donné dans la littérature (ref7) et la température réduite.

$$H_v = 7.08(1-T_r)^{0.354} + 10.95*w(1-T_r)^{0.454} \quad (2.35)$$

$$w = -\log(P_s/P_c) - 1 \quad (2.36)$$

$P_s$  : pression de vapeur saturante prise à  $T_r=0.7$

#### C) REGLE DE TROTTON

$$L_v/T_{eb} = 21 \quad (\text{approximativement}) \quad (2.37)$$

$L_v$  : chaleur de vaporisation.

T<sub>eb</sub>: température d'ébullition.

Cette méthode est approximative car la constante varie selon les liquides.(de 15 à 26 pour les liquides les plus usuels)

#### D) CORRELATION DE CHEN

$$H_v = [(R \cdot T_c \cdot T_{br} \cdot 3.978) - 3.938 - 1.555 \cdot \ln P_c] / 1.07 T_{br} \quad (2.38)$$

T<sub>c</sub> : température critique.

P<sub>c</sub> : pression critique.

T<sub>br</sub> : température réduite rapportée à la température d'ébullition normale.

R : constante des gaz parfaits.

#### E) CORRELATION DE RIDEL

Pour H<sub>v</sub> à la température normale d'ébullition on a:

$$\Delta H_{vb} = 1.093 \cdot R \cdot T_c \cdot [T_{br}(\ln P_c - 1) / (0.930 - T_{br})] \quad (2.39)$$

T<sub>c</sub> : température critique.

T<sub>br</sub> : température d'ébullition réduite.

P<sub>c</sub> : pression critique.

### II.4.2 CHALEUR LATENTIQUE DE VAPORISATION D'UN MÉLANGE DE CORPS PURS

Lenthalpie molaire d'un mélange liquide est égale à la somme des produits des enthalpies des constituants par leurs fractions molaires.

$$\Delta H = \sum \Delta H_i X_i \quad (2.40)$$

H : enthalpie de vaporisation du mélange .

H<sub>i</sub> : enthalpie de vaporisation du constituant i.

Cette loi est valable jusqu'au voisinage du point critique, tant que le mélange reste ideal.

Sous basse pression entre 0 et 1 atmosphère , les enthalpies des constituants gazeux formant la phase vapeur sont également additives comme en phase liquide.

$$\Delta H = \sum \Delta H_i X_i \quad (2.41)$$

### II.4.3 CHALEUR LATENTIQUE D'UNE ÉVACUATION PÉTROLIERE

Pour les fractions pétrolières ,mélange de nombreux constituants inconnus, il est possible d'avoir des valeurs réelles par les méthodes utilisées pour les corps purs, on a alors recours à des abaques constitués à partir de corrélations basées sur les états correspondants.

### II.12 POINT D'ANILINE

Le point d'aniline est la température la plus basse à laquelle des volumes égaux d'aniline et de produit à examiner sont complètement miscibles. Le point d'aniline est en relation avec l'aromaticité des produits et entre dans les formules de caractérisation de différentes propriétés.

### **III METHODES D'IDENTIFICATION ET DE DETERMINATION DE LA COMPOSITION DES FRACTIONS PETROLIERS**

#### **III.1 TECHNIQUES D'ANALYSE DES FRACTIONS PETROLIERS**

L'industrie pétrolière connaît depuis assez longtemps un certain nombre de méthodes d'analyse qui permettent de déterminer avec une bonne précision la teneur en telle ou telle classes d'hydrocarbures.

#### **III.1.1 ANALYSE PAR CHROMATOGRAPHIE**

Les méthodes chromatographiques sont actuellement les plus importantes parmi celles de l'analyse immédiate, elles ont pour but de séparer les constituants d'un mélange plus ou moins complexe, mais on peut également leur demander d'identifier chaque constituant, ou du moins d'aider à son identification, et enfin ces méthodes chromatographiques nous permettent dans certaines conditions d'approcher la composition d'une fraction pétrolière.

Les plus récentes et qui donnent des résultats satisfaisants est la chromatographie en phase gazeuse(CPG).

##### **a) CHROMATOGRAPHIE EN PHASE GASEUSE (CPG)**

La chromatographie en phase gazeuse est une méthode physico-chimique de séparation basée sur la répartition des constituants entre deux phases: fixe et mobile, cette dernière traversant en continu la phase stationnaire.

Un détecteur analyse en continu la phase mobile à la sortie de la colonne et y relève la présence de substances différentes du gaz vecteur. de plus il est relié à un enregistreur qui traduit sous la forme de chromatogramme les informations reçues du détecteur .

En règle générale l'analyse chimique d'un mélange comporte les opérations suivantes:

###### **a) Séparation**

La séparation se réalise au de la colonne ,et la présence de différentes substances du gaz vecteur sont mises en évidence par le détecteur, analysant en continue la phase mobile à la sortie de la colonne.

###### **b) Méthodes d'identification**

L'identification est obtenue en utilisant dans le cadre de ce travail la méthode de l'indice de Kovats et l'étalon interne.

###### **c) Mesure des surfaces**

L'analyse quantitative est obtenue en utilisant un intégrateur électronique pour les mesures de surfaces car l'aire obtenue est proportionnelle à la quantité massique.

## B) AVANTAGES DE LA CHROMATOGRAPHIE EN PHASE GASEUSE

Les méthodes permettant de déceler les substance dès leur sortie de la colonne sont relativement nombreuses et adaptables à une analyse continue évitant un fractionnement de la phase mobile.

Il s'agit d'une méthode rapide et présentant une grande souplesse car on peut faire varier de nombreux facteurs pour améliorer la séparation. Elle s'applique presque à toutes les substances gazeuses, liquides ou solides à la température ambiante.

Enfin c'est une méthode quantitative et qualitative.

### III.1.2 ANALYSE PAR SPECTROMÉTRIE DE MASSE

La spectrométrie de masse a été appliquée pour la première fois en 1940 à l'analyse des fractions à bas point d'ébullition, mais il était difficile de l'utiliser pour identifier les composants de mélanges d'une masse moléculaire plus élevée du fait de l'analogie que représentent les spectres de masse de certains hydrocarbures et spécialement ceux des isomères.

Le principe de la spectrométrie de masse consiste en ionisation dissociative des molécules organiques par choc électronique, accompagnée de formation d'une série de fragments enregistrables, qui caractérisent les molécules initiales.

De plus au delà de 150 °C (ou 200 °C) la complication devient trop grande et doit se résigner à obtenir les résultats par famille et par nombre d'atomes de carbones ce qui est parfois suffisant.

Enfin de plus en plus on s'oriente vers l'utilisation du couplage chromatographie en phase gazeuse /spectrométrie de masse.

Cette méthode donne des résultats qualitatifs et quantitatifs autrement plus performants, notamment par l'utilisation des spectres étalons memorisés, l'appareil lui même procédant à l'identification.

## III.2 DÉTERMINATION DE LA COMPOSITION DES FRACTIONS PÉTROLIÈRES

### III.2.1 INTRODUCTION

Comme il est impossible de connaître individuellement les constituants d'une fraction pétrolière, on se contente de connaître la composition globale en chacune des familles des hydrocarbures.

Dans le but de répondre à ce besoin, plusieurs méthodes ont été développées nous citons:

#### a) Méthode n.d.t.<sup>m</sup>

C'est une méthode classique qui nécessite la connaissance de l'indice de réfraction, du poids moléculaire et éventuellement du pourcentage de soufre quand celui-ci est supérieur à 0.02%.

Cette méthode nous donne une précision de l'ordre de 1.5% pour le pourcentage en carbone à condition que celui-ci soit inférieur à 1.5 fois le pourcentage de naphtènes et que le pourcentage de paraffines soit supérieur à 25%.

### b) Méthode n.d.EA

La connaissance de trois paramètres : densité, indice de réfraction et le point d'aniline suffisent pour pouvoir déterminer les compositions.

$$X_a = 1039.4 \cdot n - 470.4 \cdot d - 0.315 \cdot PA - 1662.3$$

$$X_n = -1573.3 \cdot n + 840.15 \cdot d + 0.4619 \cdot PA + 16662.2 \quad (3.1)$$

$$X_p = 100 - (X_a + X_n)$$

### c) Méthode de Riazi-Daubert

La méthode de Riazi Daubert est une méthode récente (1979) pour prévoir la composition des fractions pétrolières avec une précision raisonnable, il faut considérer deux cas :

Les fractions dont le poids moléculaire est compris entre 200 et 500g.

Les fractions légères dont le poids moléculaire est inférieur à 200g.  
Il faut cependant noter que les "plages" de ces poids moléculaires sont obtenues approximativement.

Le système d'équation obtenu pour la détermination de la composition des fractions pétrolières lourdes.

$$X_p = -9.00 + 12.53 \cdot R_i - 4.228 \cdot V.G.C$$

$$X_n = 18.66 + 19.90 \cdot R_i + 2.973 \cdot V.G.C \quad (3.2)$$

$$X_a = -8.66 + 7.37 \cdot R_i + 1.255 \cdot V.G.C$$

## III.3 DEFINITION DES PARAMÈTRES UTILISÉS POUR LA DÉTERMINATION DE LA COMPOSITION DES FRACTIONS PÉTROLIÈRES

### III.3.1 FACTEUR DE CARACTÉRISATION Kuop

La considération d'un diagramme comportant en abscisse une échelle de température et en ordonnée une échelle de spécifique gravité montre que les hydrocarbures de même famille s'alignent régulièrement suivant une courbe et les hydrocarbures mixtes s'alignent sur des courbes transversales.

Nelson, Watson et Murphy de la société u.o.p (universal oil products) ont proposé la formule suivante.

$$K.u.o.p = (T^{1/3}) / SpGr \quad (3.3)$$

T : température d'ébullition en degré Rankine.

SpGr : spécifique gravité.

La connaissance du Kuop peut donner beaucoup de renseignement sur la nature et la qualité du pétrole.

### III.3.2 INDICE DE CORRELATION CI

A partir d'une spécific gravity, température d'ébullition, il est possible de prévoir la tendance du pétrole brut ou d'une fraction pétrolière.

$$CI = 48640/T + 473.7 \cdot SpGr - 456.8 \quad (3.4)$$

T : température d'ébullition en degré K.  
CI = 0 pour les hydrocarbures paraffiniques.  
CI = 100 pour les hydrocarbures aromatiques.

### III.3.3 REFRACTIVITE INTERCEPTE RI ET FAISCEUR DE CARACTERISATION I

On définit RI par :

$$RI = n - d/2 \quad (3.5)$$

n : indice de réfraction

d : densité

On définit I par :

$$I = (n^2 - 1)/(n^2 + 2) \quad (3.6)$$

### III.3.4 VISCOSITE GRAVITY CONSTANT (V.G.C.)

La VGC est définie par Hill et ses collaborateurs en 1928 .

$$VGC = [10 \cdot S - 1.0752 \cdot \log(V1-38)] / [10 - \log(V1-38)] \quad (3.7)$$

V1: viscosité en (s.s.u) à 100°F

S: specific gravity.

**PARTIE**  
**EXPERIMENTALE**

#### IV.1 INTRODUCTION

Dans cette partie expérimentale ,nous avons fait une étude complète d'un gas oil à savoir la distillation A.S.T.M suivie d'une analyse par couplage chromatographie en phase gaseuse et spectrométrie de masse de ce gas oil et de certaines de ces fractions issues de la distillation ASTM et cela afin de déterminer les propriétés les plus importantes. Dans la partie application ,en plus des résultats obtenus ,nous avons utilisé des données expérimentales qui ont fait l'objet de travaux précédents (ref13)

Dans cette partie nous donnerons les résultats obtenus de ces travaux.

#### IV.2 DETERMINATION DES CARACTERISTIQUES DU GAS OIL

Les caractéristiques physico chimiques du gas oil ont été effectuées selon les normes françaises AFNOR (tableau 1)

PROPRIÉTÉS	VALEUR	NORME
Densité à 20°C	0.8175	AFNOR
Viscosité en cst à 20°C	4.2	AFNOR
Indice de réfraction à 20°C	1.4669	AFNOR
Point de congélation en °C	-18	AFNOR
Point d'aniline °C	84	AFNOR
Facteur de caractérisation	12.2	ABAQUE

Remarque : la valeur du Kuop se situe dans les naphtènes paraffines.

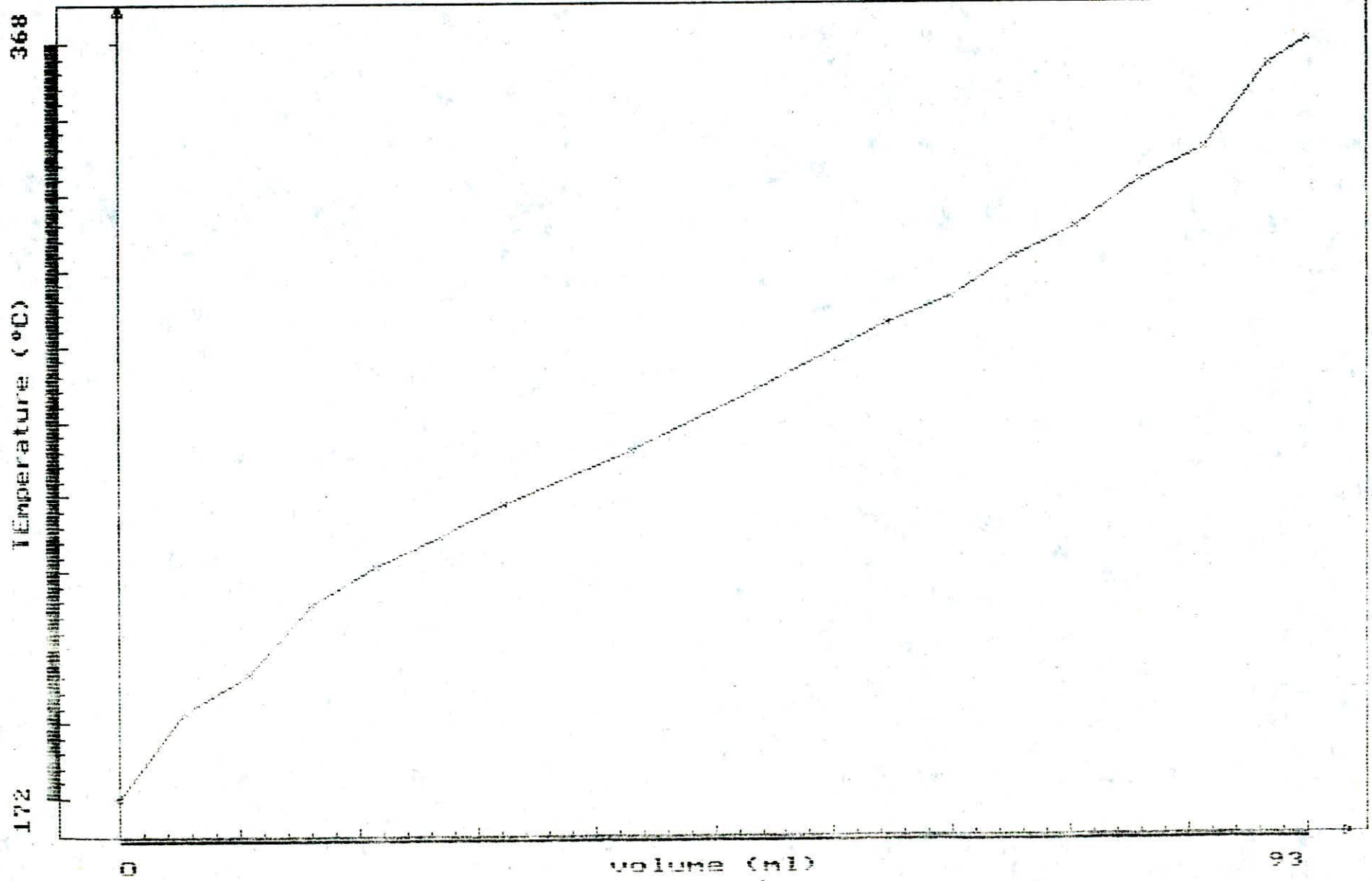
#### IV.3 DISTILLATION ASTM DU GAS OIL

Cette distillation menée selon le procédé décrit par la norme donne les résultats suivants:(tableau 2)

V(cm³)	0	5	10	15	20	25
T°C	172	194	204	222	232	240

V(cm³)	30	40	50	60	65	70
T°C	248	262	278	295	302	312

DISTILLATION ASTM (Gas-oil)



! V(cm <sup>3</sup> ) !	75	! 80	! 85	! 90	! 93	!
! T C !	320	! 332	! 340	! 362	! 368	!

#### IV.4 DISTILLATION SOUS VIDE D'UN RESIDU ATMOSPHERIQUE

La distillation sous vide a été conduite à une pression de 100 mmHg et ensuite à une pression de 5 mmHg. Les résultats obtenus de cette distillation sont recapitulés dans le tableau suivant (tableau 3)

FRACTIONS	INTERVALLE DE TEMP °C	VIDE (torr)	MASSE (g)
1	193 - 225	100	46.9
2	225 - 250	100	118.4
3	250 - 275	100	123.8
4	275 - 300	5	118.4
5	300 - 325	5	130.4
6	325 - 350	5	132.1
7	350 - 370	5	73.2

#### IV.5 RESULTATS DE L'ANALYSE CHROMATOGRAPHIQUE DES FRACTIONNS OBTIENUES DE LA DISTILLATION SOUS VIDE

La détermination de la composition des fractions pétrolières est faite par la méthode des indices de Kovats.

F R A C T I O N S		C O M P O S I T I O N		
		X <sub>p</sub>	X <sub>n</sub>	X <sub>a</sub>
	1	18.09	42.71	39.20
	2	13.60	15.43	70.97
	3	45.31	5.16	49.55
	4	59.81	5.58	34.61
	5	73.64	5.00	21.16
	6	82.38	6.56	11.06
	7	68.41	19.88	11.71

#### VI.5 RESULTATS DE L'ANALYSE DES FRACTIONNES PETROLIERES

F R A C T I O N S							
PROP	1	2	3	4	5	6	7
T <sub>s</sub>	26.5	27.3	28.5	29.4	30.7	32.3	33.6
d	0.7966	0.8038	0.8195	0.8239	0.8306	0.8424	0.8498
n	1.4490	1.4530	1.4610	1.4640	1.4670	1.4722	1.4778
V <sub>a</sub>	1.834	2.660	3.340	5.766	6.932	10.993	16.426
T <sub>ebl</sub>	221.0	237.2	261.5	288.5	312.5	336.0	363.3
P <sub>a</sub>	65.0	71.8	73.6	77.6	82.8	86.0	88.8
T <sub>c</sub>	393.3	420.5	446.4	467.1	488.8	512.5	532.4
P <sub>c</sub>	22.1	19.7	18.3	16.5	14.9	13.6	12.5
C <sub>p</sub>	78.94	59.94	65.23	70.38	91.90	107.34	126.51
Kuop	12.0	12.09	12.04	12.18	12.25	12.24	12.31

Z	0.1055	0.1035	0.102	0.100	0.098	0.097	0.095
MM	164.0	184.0	202.0	222.0	250.0	275.0	300.0

#### IV.6 ANALYSE DU GAS OIL

Les analyses sont faites dans des appareils normalisés d'autres grandeurs sont obtenues à partir des abaques et des corrélations.

Les méthodes utilisées sont les suivantes:

PROPRIETES		METHODES	
Densité		Pycnomètre (norme AFNOR)	
Indice de réfraction		Réfractomètre (norme AFNOR)	
Point d'aniline		Norme AFNOR	
Masse moléculaire		Utilisation d'abaques et corrélations	
Pression critique		" "	
Température critique		" "	
Volume critique		" "	
Enthalpie de vaporisation		" "	
Chaleur spécifique		" "	
Chaleur de combustion		" "	
réfraction molaire		" "	
volume molaire		" "	
Kuop		" "	

#### IV.7 PROPRIETES PHYSICO CHIMIQUES DU GAS OIL

PROPRIETE	d	V <sub>a</sub>	n	P <sub>A</sub>	C <sub>g</sub>	Kuop
VALEUR	0.8175	4.2	1.4669	84	-18	12.2

PROPRIETE	T <sub>c</sub> ( C)	P <sub>c</sub> (atm)	MM(g)	T <sub>eb</sub> ( C)	RM	I
VALEUR	455	18.06	218	273	124.5	0.2774

#### IV.7 RESULTATS DE L'ANALYSE DU GAS OIL PAR GC/MS

TEMPS DE RETENTION (MN)	CORPS	PROBAB- ILITE	% PIC
3.599	undécane 5,6 diméthyl	64%	6.336
7.384	décane 2,3,5 triméthyl	72%	6.054
"	décane 6 ethyl 2 méthyl	72%	6.054
7.519	décane 2,3,5 triméthyl	72%	7.293
"	dodécane 2 méthyl 6 propyl	56%	"
9.824	décane 2,3,5 triméthyl	78%	8.835
"	heptadecane 2,6,10 triméthyl	72%	"
"	décane 6ethyl 2méthyl	64%	"
"	heptadecane 2,6,10 triméthyl	56%	"
"	1-décene 3,4 diméthyl	47%	"
12.65	undécane 4,6 diméthyl	53%	9.130
"	octane 2,4,6 triméthyl	28%	"
"	octane 2,3,6 triméthyl	28%	"
"	octane 2,3,7 triméthyl	25%	"
"	octane 2,5,9 triméthyl	12%	"
14.477	heptadecane	74%	8.252
16.693	aucune réponse	-	6.320
18.841	octane 2,4,6 trimethyl	39%	5.316
20.890	aucune réponse	-	3.536
22.861	aucune réponse	-	3.218
24.738	aucune réponse	-	2.171
26.552	aucune réponse	-	1.446

IV.8 RESULTATS DE L'ANALYSE PAR GC/MS DE LA FRACTION 1 DU GAS OIL

PIC	COMPOSE
1	2 méthoxy,2-héxene
2	1,2 diméthyl benzène
3	2,5,8 triméthyl heptane
4	octyl cyclohexane
5	5-octadécène
6	1,2,3 triméthyl benzène
7	cyclopentane
8	1-ethyl,3-méthylbenzène
9	1,3,5 triméthyl-benzène
10	2,4,6 tri méthyoctane
11	1-ethyl,2-méthyl benzène
12	2,6,7 trimethyl octane
13	buthyl cyclohexane
14	1-methyl,3-propyl benzène
15	1,2 dimethyl benzene
16	méthyl(1-méthyl ethyl) benzene
17	4 éthyl-1,2 diméthyl benzène
18	1,2 diméthyl benzène
19	3-méthyl undecane
20	pentyl cyclohexane
21	1,2,3,5 tétramethyl benzène
22	2,4,6 trimethyl octane
23	6-methyl decane
24	tridécane
25	hexadécane
26	heptadécane

## VI.9 CONDITIONS OPERATOIRES DE L'ANALYSE PAR GC/MS

L'analyse a été faite sur un chromatographe de type 5890 série II couple à un spectromètre de masse de type 5971A.

L'analyse chromatographique a été faite dans une colonne capillaire de type HP1 qui est équivalente à une colonne OV-1 SE-30, colonne apolaire de phase de méthyl silicone .

Longueur de la colonne égale à 12 mètres et de diamètre égal à 0.2mm.  
Débit de gaz vecteur égal à 0.5ml/mn.

Pour l'analyse du gaz oil nous avons utilisé les conditions suivantes:

Température initiale = 80 °C

Température finale = 300 °C

Température de la chambre d'injection = 280 deg C

Programmation de la température 3 deg C / min

Temps d'analyse = 73.33 min

## IV.10 DETERMINATION DE LA COMPOSITION DU GAS OIL PAR LA METHODE NDPA

La composition du gasoil obtenue par la méthode ndPa est la suivante:

Pourcentage en aromatiques % Xa = 9.74

Pourcentage en naphthalènes % Xn = 19.57

Pourcentage en paraffines % Xp = 70.69

## IV.11 DETERMINATION DE LA COMPOSITION DE LA FRACTION 1 DU GAS OIL

Par QPG

Méthode ndPa

Xp = 51.01

X<sub>A</sub> = 75.01

Xn = 8.49

Xn = 18.58

Xa = 36.62

Xp = 6.42

**PARTIE CALCULS  
ET APPLICATIONS**

## CALCUL DES PROPRIÉTÉS PHYSICO-CHIMIQUES DES CORPS PUIS ÉTUDES

### INTRODUCTION

Dans cette partie nous avons essayé de calculer les propriétés physico-chimiques pour les quatres familles d'hydrocarbures (paraffines, naphtènes, aromatiques et oléfines) dont la température d'ébullition est comprise entre 170 et 355°C par les différentes méthodes citées dans la partie théoriques ou bien on a essayé de les approcher en utilisant des abaques, des corrélations empiriques. (ref 1,7,8) ou les données de API (ref 5).

Cette étude nous a permis d'estimer les propriétés physico-chimiques par plusieurs méthodes différentes, de faire une comparaison entre ces valeurs trouvées et enfin de sélectionner les valeurs les plus correctes (soit en calculant la moyenne arithmétique entre les valeurs qui sont très rapprochées ou bien de prendre les valeurs les plus probables). Ces valeurs choisies seront ensuite utilisées pour l'élaboration des nomogrammes.

Dans cette partie nous présenterons les valeurs qui serviront à la construction des nomogrammes voir les tableaux suivants (tableaux 1,2,3,4)

Toutes ces propriétés ( $d, n, T_v, H_v, H_c, C_p, R_M, V_a, T_s$ ) sont calculées à la température de 25°C, seule la tension de vapeur est calculée à la température de 70°C car à cette température tous les hydrocarbures sont liquide.

**Propriétés physico-chimiques des paraffines**

	DECANE	UNDECANE	DODECANE	TRI DECANE	TETRA DECANE	PENTA DECANE
CORPS PURS						
FORMULE	C <sub>10</sub> H <sub>22</sub>	C <sub>11</sub> H <sub>24</sub>	C <sub>12</sub> H <sub>26</sub>	C <sub>13</sub> H <sub>28</sub>	C <sub>14</sub> H <sub>30</sub>	C <sub>15</sub> H <sub>32</sub>
T <sub>c</sub> (°C)	344.4	365.6	385.1	402.6	418.7	433.6
P <sub>c</sub> (atm)	20.82	19.41	18.07	17.01	16.01	15.07
V <sub>c</sub> (ml/mol)	590	645	700	755	810	765
d	0.7262	0.7365	0.7451	0.7525	0.7591	0.7648
M <sub>m</sub> (g)	142.28	156.36	170.34	184.36	198.34	212.42
V <sub>M</sub> (ml/mol)	195.17	212.26	229.60	246.64	263.99	281.29
T <sub>eb</sub> (°C)	174.12	195.26	216.27	235.43	253.51	270.61
n	1.4096	1.4145	1.4194	1.4234	1.4268	1.4297
T <sub>v</sub> (mm Hg)	29.53	13.60	6.51	3.22	1.87	0.87
H <sub>v</sub> (cal/mol)	9440	10030	10530	11090	11600	12.07
H <sub>c</sub> (kcal/mol)	1504.34	1650.08	1795.83	1941.56	2087.30	2233.03
C <sub>p</sub> (cal/g°C)	56.4	61.53	67.00	72.47	77.93	83.40
R <sub>M</sub> (ml/mol)	46.50	53.15	57.76	62.42	67.07	71.70
V <sub>a</sub> (cpoise)	0.86	1.09	1.37	1.70	2.10	2.56
T <sub>s</sub> (dyn/cm)	23.37	24.21	24.91	25.55	26.13	26.62
C <sub>g</sub> (°C)	-32	-25.59	-9.58	-5.39	+5.86	+9.92
I	0.2475	0.2516	0.2539	0.2560	0.2577	0.2593
Z	3.045E-4	3.025E-4	2.987E-4	2.954E-4	2.922E-4	2.904E-4
P <sub>A</sub> (°C)	78	80	83	85	88.5	92
KUOP	12.73	12.76	12.80	12.84	12.87	12.92

(tableau 1)

**Propriétés phisico-chimiques des paraffines**

CORPS PURS	HEXA- DECANE	HEPTA- DECANE	OCTA- DECANE	NONA- DECANE	EICOSANE
FORMULE	C16H34	C17H36	C18H38	C19H40	C20H42
T <sub>c</sub> (°C)	447.4	460.2	472.1	483.0	490.0
P <sub>c</sub> (atm)	14.17	13.32	12.49	11.70	11.43
V <sub>c</sub> (ml/mol)	920	975	1030	1085	1140
d	0.7699	0.7744	0.7784	0.7820	0.7852
M <sub>M</sub> (g)	226.45	240.47	254.50	268.63	282.55
VM (ml/mol)	298.61	235.98	333.79	350.79	368.25
T <sub>eb</sub> (°C)	266.79	302.15	316.71	330.60	343.80
n	1.4325	1.4348	1.4369	1.4388	1.4405
T <sub>v</sub> (mm Hg)	0.47	0.26	0.15	0.090	0.054
H <sub>v</sub> (cal/mol)	12470	12820	13090	13470	13970
H <sub>c</sub> (kcal/mol)	2378	2524	2670	2816	2961
C <sub>p</sub> (cal/g C)	88.86	94.33	99.80	105.26	110.73
R <sub>M</sub> (ml/mol)	76.35	80.99	85.63	90.28	94.93
V <sub>a</sub> (cpoise)	3.08	3.70	4.22	4.80	5.36
T <sub>s</sub> (dyn/cm)	27.04	27.48	27.87	28.17	28.46
C <sub>g</sub> (K)	+18.16	+21.98	+28.18	+31.90	+36.40
I	0.2596	0.2618	0.2629	0.2639	0.2648
Z	2.875E-4	2.856E-4	2.833E-4	2.823E-4	2.804E-4
P <sub>A</sub> (°C)	95.5	97.5	99.0	102.0	104.0
KUOP	12.96	13.00	13.04	13.09	13.13

(tableau i suite)

Propriétés physico-chimiques des naphtènes

	BUTYL	PROPYL	PENTYL	HEXYL	OCTYL	NONYL
CORPS PURS	CYCLO- HEXANE	CYCLO- HEXANE	CYCLO- HEXANE	CYCLO- HEXANE	CYCLO- HEXANE	CYCLO- HEXANE
FORMULE						
PROP	C10H20	C11H22	C12H24	C13H26	C14H28	C15H30
T <sub>c</sub> (°C)	373.99	389.58	411.37	427.97	442.98	457.17
P <sub>c</sub> (atm)	25.36	23.20	21.38	19.82	18.38	17.30
V <sub>c</sub> (ml/mol)	487	542.0	597.0	625.0	707.0	762
d	0.7955	0.8000	0.8040	0.8075	0.8103	0.8129
M <sub>M</sub> (g)	140.27	154.29	168.32	182.35	196.37	210.40
V <sub>M</sub> (ml/mol)	181.52	200.0	220.52	339.71	259.19	278.72
T <sub>eb</sub> (°C)	180.94	203.67	274.72	244.88	263.61	281.50
n	1.4385	1.4416	1.4441	1.4463	1.4483	1.4499
T <sub>v</sub> (mm Hg)	24.12	11.03	5.18	2.54	1.28	0.67
H <sub>v</sub> (cal/mol)	11960	13140	14320	15500	16680	17860
H <sub>c</sub> (kcal/mol)	1455	1601	1747	1892	2038	2184
C <sub>p</sub> (cal/g°C)	49.50	94.96	60.43	65.89	71.36	76.83
R <sub>M</sub> (ml/mol)	46.334	50.98	55.62	60.25	64.90	69.59
V <sub>a</sub> (cpoise)	1.31	1.71	2.21	2.80	3.50	4.31
T <sub>s</sub> (dyn/cm)	36.32	36.79	37.78	36.75	37.68	38.16
C <sub>g</sub> (°K)	-	-	-	-	-	-
I	0.2626	0.2643	0.2656	0.2668	0.2678	0.2686
Z	-	-	-	-	-	-
P <sub>A</sub> (°C)	54.0	59.5	66.0	73.5	76.0	81.0
KUOP	11.75	11.87	11.99	12.09	12.20	12.29

(tableau 2)

Propriétés physico-chimiques des naphtènes

	DECYL	UNDECYL	DODECYL	TRIDECYL	TETRADECYL
CORPS PURS	CYCLO- HEXANE	CYCLO- HEXANE	CYCLO- HEXANE	CYCLO- HEXANE	CYCLO- HEXANE
FORMULE					
PROP	C16H32	C17H34	C18H36	C19H38	C20H40
Tc (°C)	475.34	481.68	492.98	503.79	514.01
Pc (atm)	16.27	15.35	14.53	13.80	13.13
Vc (ml/mol)	817	872	927	982	1037
d	0.8151	0.8172	0.8190	0.8205	0.8220
MM (g)	224.43	238.46	252.48	266.15	280.54
VM (ml/mol)	298.27	317.86	337.74	357.14	376.86
Teb (°C)	297.66	313.22	327.88	341.88	355.00
n	1.4514	1.4527	1.4539	1.4550	1.4559
Tv (mm Hg)	0.36	0.20	0.12	0.070	0.042
Hv (cal/mol)	19040	20220	21400	22580	23760
Hc (kcal/mol)	2330	2475	2621	2767	2913
Cp (cal/g°C)	82.29	87.76	93.22	98.69	104.16
RM (ml/mol)	74.18	78.82	83.46	88.11	92.75
Va (cpoise)	5.24	6.32	7.52	8.85	9.72
Ts (dyn/cm)	38.35	38.49	38.58	38.61	38.78
Cg (°K)	-	-	-	-	-
I	0.2694	0.2701	0.2707	0.2713	0.2717
Z	-	-	-	-	-
PA (°C)	84.0	88.0	92.0	96.0	98.0
KUOP	12.37	12.46	12.53	12.60	12.67

(tableau 2 suite)

Propriétés physico-chimiques des aromatiques

	BUTYL	PROPYL	PENTY	HEXYL	OCTYL	NONYL
CORPS PURS	BENZENE	BENZENE	BENZENE	BENZENE	BENZENE	BENZENE
FORMULE						
PROP	C10H14	C11H16	C12H18	C13H20	C14H22	C15H24
Tc (°C)	389.80	408.35	425.08	440.68	454.94	468.09
Pc (atm)	28.47	25.73	23.51	21.68	20.08	18.69
Vc (ml/mol)	497	550	620	660	720	790
d	0.8561	0.8546	0.8529	0.8525	0.8521	0.8513
MM (g)	134.22	148.24	162.27	176.29	190.31	204.34
VM (ml/mol)	170.78	181.93	203.34	220.78	240.26	259.77
Teb (°C)	183.27	205.46	226.10	246.10	264.40	262.00
n	1.4874	1.4874	148.56	1.4842	1.4832	1.4824
Tv (mm Hg)	21.35	9.63	4.54	2.17	1.10	0.57
Hv (cal/mol)	9680	10130	10660	11240	11750	12320
He (kcal/mol)	1329	11475	1621	1767	1912	2058
Cp (cal/g°C)	4209	47.32	52.79	58.25	63.72	69.18
RM (ml/mol)	45.12	49.76	54.40	59.04	63.68	68.32
Va (cmole)	0.95	1.22	1.52	1.88	2.30	2.79
Ts (dyn/cm)	28.29	29.78	31.16	32.50	33.70	34.86
Cg (°K)	-88	-75	-61	-48	-36	-24
I	0.2878	0.2880	0.2873	0.2868	0.2863	0.2859
Z	3.049E-4	3.019E-4	2.984E-4	2.942E-4	2.916E-4	2.686E-4
PA (°C)	-	-	-	-	-	-
KUOP	10.91	11.08	11.25	11.41	11.55	11.68

(tableau 3)

**Propriétés physico-chimiques des aromatiques**

CORPS PURS	DECYL-	UNDECYL	DODECYL	TRIDECYL/TETRADECYL	
	BENZENE	BENZENE	BENZENE	BENZENE	BENZENE
FORMULE					
PROP	C16H26	C17H26	C18H30	C19H32	C20H34
T <sub>c</sub> (°C)	479.84	490.97	502.09	510.99	534.68
P <sub>c</sub> (atm)	17.54	16.46	15.54	14.73	13.95
V <sub>c</sub> (ml/mol)	850	910	980	1045	1110
d	0.8518	0.8517	0.8515	0.8514	0.8513
MM (g)	218.36	232.36	246.41	260.43	274.46
VM (ml/mol)	279.33	298.91	316.54	338.16	357.86
T <sub>eb</sub> (°C)	29.89	313.20	327.60	341.30	354.0
n	1.4811	1.4807	1.4803	1.4800	1.4797
T <sub>v</sub> (mm Hg)	0.31	0.17	0.10	0.059	0.036
H <sub>v</sub> (cal/mol)	12840	13330	13690	14410	14880
H <sub>c</sub> (kcal/mol)	2204	2350	2495	2641	2787
C <sub>p</sub> (cal/g°C)	74.65	80.12	85.58	91.05	96.51
R <sub>M</sub> (ml/mol)	72.96	77.61	82.25	86.89	91.53
V <sub>a</sub> (cpoise)	3.36	4.02	4.78	5.31	6.61
T <sub>s</sub> (dyn/cm)	35.85	36.79	37.60	38.32	38.87
C <sub>g</sub> (°K)	-14.38	-5.00	+3.00	+10	+16
I	0.2856	0.2854	0.2852	0.2851	0.2849
Z	2.86E-4	2.846E-4	2.827E-4	2.805E-4	2.790E-4
P <sub>A</sub> (°C)	-	-	-	-	-
KUOP	11.79	11.90	12.00	12.09	12.18

(tableau 3 suite)

Propriétés physico-chimiques des olefines

CORPS PURS	DECENE	DODECENE	TRIDECENE	TETRA-DECENE	PENTA-DECENE	HEXA-DECENE
FORMULE	C10H20	C11H22	C12H24	C13H26	C14H28	C15H30
Tc (°C)	342	364	384	401	416	433
Pc (atm)	21.77	19.84	18.32	17.12	15.90	14.94
Vc (ml/mol)	570	625	680	735	790	845
d	0.7396	0.7465	0.7547	0.7616	0.7676	0.7729
MM (g)	140.27	154.24	168.32	182.35	196.37	210.40
VM (ml/mol)	186.87	205.99	223.33	240.39	257.66	277.96
Teb (°C)	170.57	192.67	213.35	232.78	251.10	268.39
n	1.4191	1.4238	1.4278	1.4311	1.4341	1.4366
Tv (mm Hg)	32.45	14.68	7.23	3.56	1.81	0.95
Hv (cal/mol)	9450	9880	10390	10860	11330	11920
Hc (kcal/mol)	1476	1622	1768	1914	2059	2205
Cp (cal/g°C)	52.83	58.96	64.43	69.89	75.36	80.82
RM (ml/mol)	48.07	52.71	57.37	61.98	66.63	71.27
Va (cpoise)	0.75	0.95	1.20	1.50	1.82	2.23
Ts (dyn/cm)	23.39	23.86	24.48	24.87	25.14	25.36
Cg (°K)	-62.36	-49.18	-35.23	-23.07	-12.85	-3.73
I	0.2525	0.2512	0.2583	0.2600	0.2616	0.2641
Z	3.059E-4	3.019E-4	2.982E-4	2.953E-4	2.932E-4	2.913E-4
PA (°C)	44.0	49.0	54.0	56.5	62.0	65.0
KUOP	12.50	12.56	12.61	12.66	12.71	12.77

(tableau 4)

Propriétés physico-chimiques des oléfines

CORPS PURS	HEXA- DECENE	HEPTA- DECENE	OCTA- DECENE	NONA- DECENE	EICOSENE
FORMULE					
PROP	C16H32	C17H34	C18H36	C19H38	C20H40
T <sub>c</sub> (°C)	444.00	455.00	466.00	477.00	486.00
P <sub>c</sub> (atm)	13.92	13.30	12.46	11.61	10.93
V <sub>c</sub> (ml/mol)	900	955	1010	1065	1120
d	0.7775	0.7816	0.7853	0.7886	0.7916
MM (g)	224.43	238.46	252.48	266.51	280.54
VM (ml/mol)	292.28	309.66	327.04	344.46	361.89
T <sub>eb</sub> (°C)	284.87	300.33	314.82	329.10	342.40
n	1.4390	1.44107	1.4428	1.4445	1.4459
T <sub>v</sub> (mm Hg)	0.51	0.28	0.16	0.095	0.057
H <sub>v</sub> (cal/mol)	12410	12510	13120	13430	13500
H <sub>c</sub> (kcal/mol)	2351	2496	2642	2788	2934
C <sub>p</sub> (cal/g°C)	86.29	91.76	97.22	102.69	108.15
R <sub>M</sub> (ml/mol)	75.92	80.56	85.20	89.85	94.48
V <sub>a</sub> (cpoise)	2.69	3.24	3.85	4.56	5.17
T <sub>s</sub> (dyn/cm)	25.56	25.66	26.20	25.85	25.77
C <sub>g</sub> (°K)	+4.128	+11.2	+17.6	+23.4	+28.6
I	0.2651	0.2660	0.2669	0.2677	0.2683
Z	2.893E-4	2.885E-4	2.866E-4	2.843E-4	2.838E-4
P <sub>A</sub> (°C)	69.0	72.0	75.0	79.5	81.5
KUOP	12.82	12.87	12.91	12.97	13.01

(tableau 4 suite)

## V CONSTRUCTION DES NOMOGRAMMES

### V.1 NOMOGRAMMES POUR LES FONCTIONS DE TYPE $\beta = f(\alpha)$

Nous allons construire un nomogramme pour l'équation de Tym et Cailus qui nous donne le volume moléculaire en fonction du volume critique.

$$VM = 0.285 Vc^{1.048}$$

Cette équation est de la forme:  $VM = F(Vc)$

Nous allons utiliser la méthode décrite dans la partie théorique pour construire le nomogramme relatif à cette équation.

pour les hydrocarbures lourds étudiés le volume molaire est compris entre 154 et 360 ml.

La valeur initiale  $VM_i = 154$

La valeur finale  $VM_f = 360$

Soit  $L$  la longueur admissible de l'échelle qu'on fixe à 22 cm, on aura la valeur du paramètre  $m$  égale à:

$$m = L / (VM_f - VM_i) = 22 / (360 - 154) = 0.116$$

On choisit la fonction  $\phi$  telle que  $\phi(VM) = \phi[f(Vc)] = VM = f(Vc)$  d'où  $\phi$  est une fonction identité.

Dans le repère  $xoy$  les coordonnées de l'échelle de  $VM$  sont:

$$x = 1 \text{ cm} \quad y = a + m VM = a + 0.106 VM$$

On veut que la distance entre l'origine de  $VM$  et l'axe  $ox$  soit égale à 1 cm, on aura donc la relation suivante:

$$1 = a + 0.106 VM_i \quad \text{avec } VM_i = 154$$

d'où on a:

$$a = 1 - 0.106 * 154 = -15.446$$

Dans les deux repères  $xoy$  et  $xo'z$  relatifs à  $VM$  et  $Vc$  les équations de  $VM$  et  $Vc$  sont les suivantes:

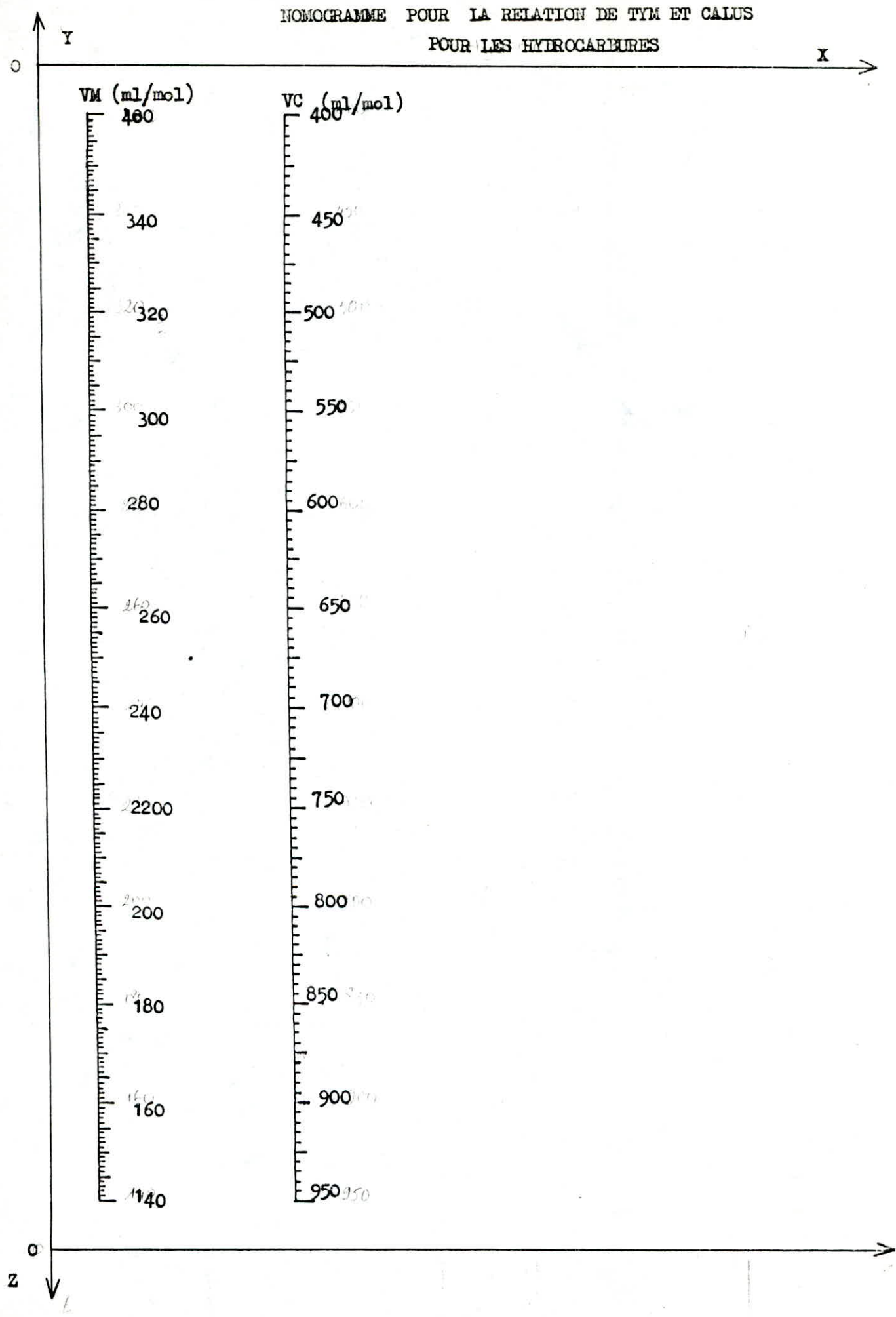
Repère  $xoy$  relatif à  $VM$ :  $x = h_1 = 1 \text{ cm}$   $y = -15.446 + 0.106 VM$

Repère  $xo'z$  relatif à  $Vc$ :  $x = h_2 = 2 \text{ cm}$   $y = -15.446 + 0.106 f(Vc)$

$$\text{avec } f(Vc) = 0.285 Vc^{1.048}$$

Le nomogramme obtenu est représenté dans la page suivante.

NOMOGRAMME POUR LA RELATION DE TYM ET CALUS  
POUR LES HYDROCARBURES



## V.2 NOMOGRAMMES POUR LES SYSTEMES D'EQUATIONS

$$f_1(\alpha_1) = f_2(\alpha_L) = \dots = f_n(\alpha_n)$$

### V.2.1 Nomoogrammes pour les n paraffines

#### 1 serie d'équations

Le systeme d'équation utilise est de la forme suivante :

$$d = f_1(n) = f_2(VM) = f_3(T_s) = f_4(C_g) = f_5(T_{eb}) = f_6(T_v) = f_7(kuop) = f_8(I) = f_9(z) = f_{10}(PA).$$

La serie d'équations utilisees est la suivante:

$$d = f_1(n) = -236n^3 + 4.312n^2 - 8.941n + 5.422$$

$$d = f_2(VM) = 5.401e-09VM^3 + 5.842e-6VM^2 + 2.299e-3VM + 0.458$$

$$d = f_3(T_s) = -1.110e-5Ts^3 + 6.907e-4Ts^2 - 1.817e-3 + 0.533$$

$$d = f_4(T_g) = 383e-8Tg^3 - 1.550e-6Tg^2 + 8.276e-4Tg + 0.755$$

$$d = f_5(T_{eb}) = 1.878e-9T_{eb}^3 - 2.189e-6T_{eb}^2 + 1.091e-03T_{eb} + 0.592$$

$$d = f_6(T_v) = -1.487e-5Tv^3 + 7.172e-04Tv^2 - 9.984e-3Tv + 0.778$$

$$d = f_7(kuop) = -2.408e-3kuop^3 + 2.431e-2kuop^2 + 0.725kuop - 7.481$$

$$d = f_8(I) = 99.492I^3 - 27.929I^2 - 1.803I + 1.375$$

$$d = f_9(z) = -1.275e+8z^3 - 2.944e+7z^2 + 15208z - 1.165$$

$$d = f_{10}(PA) = 4.508e-6PA^3 - 1.275e-3PA^2 + 0.121PA - 3.149$$

Pour les paraffines étudiées la densité varie de 0.7262 à 0.7852  
En prenant la longueur admissible de l'échelle L=22 cm.

$$m = L/(df-di)$$

$$\text{On aura } m = 22/(0.7852 - 0.7262) = 372.88$$

Soit la fonction identité

$$x = 1 \quad y = a + m di = a + 372.88d$$

$$\text{pour } y_i = 1cm \quad 1 = a + 269.78di = a + 372.88 * 0.7262$$

d'où

$$a = -169.78$$

Dans les repères  $xoy$  et  $x_0'z$ , les équations des échelles sont les suivantes

$d$ :	$x = 1\text{cm}$	$y = -269.78 + 372.88 d$	$.7262 \leq d \leq .7852$
$n$ :	$x = 4\text{cm}$	$y = -269.78 + 372.88 f_1(n)$	$1.4096 \leq n \leq 1.4405$
$VM$ :	$x = 7\text{cm}$	$y = -269.78 + 372.88 f_2(VM)$	$195.17 \leq VM \leq 368.25$
$T_s$ :	$x = 10\text{cm}$	$y = -269.78 + 372.88 f_3(T_s)$	$23.37 \leq T_s \leq 28.46$
$C_g$ :	$x = 13\text{cm}$	$y = -269.78 + 372.88 f_4(C_g)$	$-32 \leq C_g \leq 36.40$
$T_{eb}$ :	$x = 16\text{cm}$	$y = -269.78 + 372.88 f_5(T_{eb})$	$174.12 \leq T_{eb} \leq 343.8$
KUOP :	$x = 4\text{cm}$	$y = -269.78 + 372.88 f_6(KUOP)$	$12.73 \leq KUOP \leq 13.13$
$I$ :	$x = 7\text{cm}$	$y = -269.78 + 372.88 f_7(I)$	$0.2475 \leq I \leq 0.2646$
$Z$ :	$x = 10\text{cm}$	$y = -269.78 + 372.88 f_8(Z)$	$2.804E-4 \leq Z \leq 3.045E-4$
$PA$ :	$x = 13\text{cm}$	$y = -269.78 + 372.88 f_9(PA)$	$78 \leq PA \leq 104$
$T_v$ :	$x = 16\text{cm}$	$y = -269.78 + 372.88 f_{10}(T_v)$	$0.054 \leq T_v \leq 29.53$

$f_1, f_2, f_3, f_4, f_5, f_6, f_7, f_8, f_9$ , sont des fonctions monotones ce qui nous donne la continuité de leurs échelles.

$f_{10}$  est une fonction non monotone d'où la discontinuité de l'échelle.

### 2<sup>me</sup> série d'équation

La deuxième série d'équation est relative à l'indice de réfraction.

$$n = f_1(H_v) = f_2(H_c) = f_3(C_p) = f_5(RM)$$

Les équations utilisées sont les suivantes:

$$n = f_1(H_v) = 8.926E-14H_v^3 - 3.554E-09H_v^2 + 5.306E-05H_v + 1.150$$

$$n = f_2(H_c) = 2.699E-12H_c^3 - 2.641E-08H_c^2 + 9.719E-05H_c + 1.314$$

$$n = f_3(C_p) = 8.297E-08C_p^3 - 2.700E-05C_p^2 + 3.283E-03C_p + 1.295$$

$$n = f_4(RM) = 1.184E-07RM^3 - 3.371E-05RM^2 + 3.610E-03RM + 1.300$$

L'indice de réfraction pour les paraffines étudiées est compris entre 1.4096 et 1.4405.

En prenant  $L = 22\text{cm}$  comme longueur admissible de l'échelle, on aura :

$$m = L/(nf - ni) = 22 / (1.4405 - 1.4096) = 711.974$$

Soit  $\phi$  la fonction identité, l'échelle pour  $n$  serait la suivante

$$x = 1\text{cm} \quad y = a + mn = a + 711.974 n$$

pour  $y_i = 1\text{cm}$  on a

$$y_i = 1\text{cm} = a + 711.974 n \quad n = 1.4096$$

$$a = -1002.56$$

Dans les repères  $xoy$  et  $xo'z$  les équations des échelles sont les suivantes:

$$n = 1\text{cm} \quad y = -1002.56 + 711.97 n \quad 1.4096 \leq n \leq 1.4405$$

$$Hv = 5\text{cm} \quad z = -1002.56 + 711.97 f_1(Hv) \quad 9440 \leq Hv \leq 13970$$

$$Hc = 10\text{cm} \quad y = -1002.56 + 711.97 f_2(Hc) \quad 1504 \leq Hc \leq 2961$$

$$Cp = 14\text{cm} \quad z = -1002.56 + 711.97 f_3(Cp) \quad 56.4 \leq Cp \leq 110.73$$

$$RM = 18\text{cm} \quad y = -1002.56 + 711.97 f_4(RM) \quad 48.50 \leq RM \leq 94.93$$

$f_1, f_2, f_3, f_4$  sont des fonctions monotones d'où la continuité de leurs échelles.

### 2<sup>e</sup> série d'équations

Les équations utilisées sont les suivantes:

$$f_1(Tc) = -1.311E-05 Tc^3 + 0.019 Tc^2 - 8.294Tc + 1245.043$$

$$f_2(Pc) = -4.502E-02 Pc^3 + 2.809 Pc^2 - 69.064Pc + 767.59$$

$$f_3(Vc) = -1.101E-09 Vc^3 + 2.627E-06 Vc^2 - 0.252Vc - 7.569$$

$$f_4(Va) = +1.243Va^3 - 14.42 Va^2 + 78.36Va + 85.63$$

La masse moléculaire pour ces paraffines est comprise entre 142 et 282  
Soit  $L$  la longueur admissible de l'échelle  $L = 22\text{cm}$ .

$$m = L / (MM_f - MM_i) = 22 / (282 - 142) = 0.156$$

Soit  $\Phi$  la fonction identité

L'échelle pour MM sera  $x = 1\text{cm}$   $y = a + 0.156 MM$

Pour  $y_i = 1\text{cm} = a + 0.156 MM_i$  d'où  $a = -21.31$

Dans les repères  $xoy$  et  $xo'z$  les équations des échelles sont les suivantes

$$MM: \quad x = 1\text{cm} \quad y = -21.31 + 0.156 MM \quad 142.28 \leq MM \leq 282.55$$

$$Tc: \quad x = 5\text{cm} \quad z = -21.31 + 0.156 f_1(Tc) \quad 344.4 \leq Tc \leq 490.0$$

$$Pc: \quad x = 9\text{cm} \quad y = -21.31 + 0.156 f_2(Pc) \quad 11.43 \leq Pc \leq 20.82$$

$$Vc: \quad x = 13\text{cm} \quad z = -21.31 + 0.156 f_3(Vc) \quad 590.0 \leq Vc \leq 1140$$

$$Va: \quad x = 17\text{cm} \quad y = -21.31 + 0.156 f_4(Va) \quad 0.860 \leq Va \leq 5.36$$

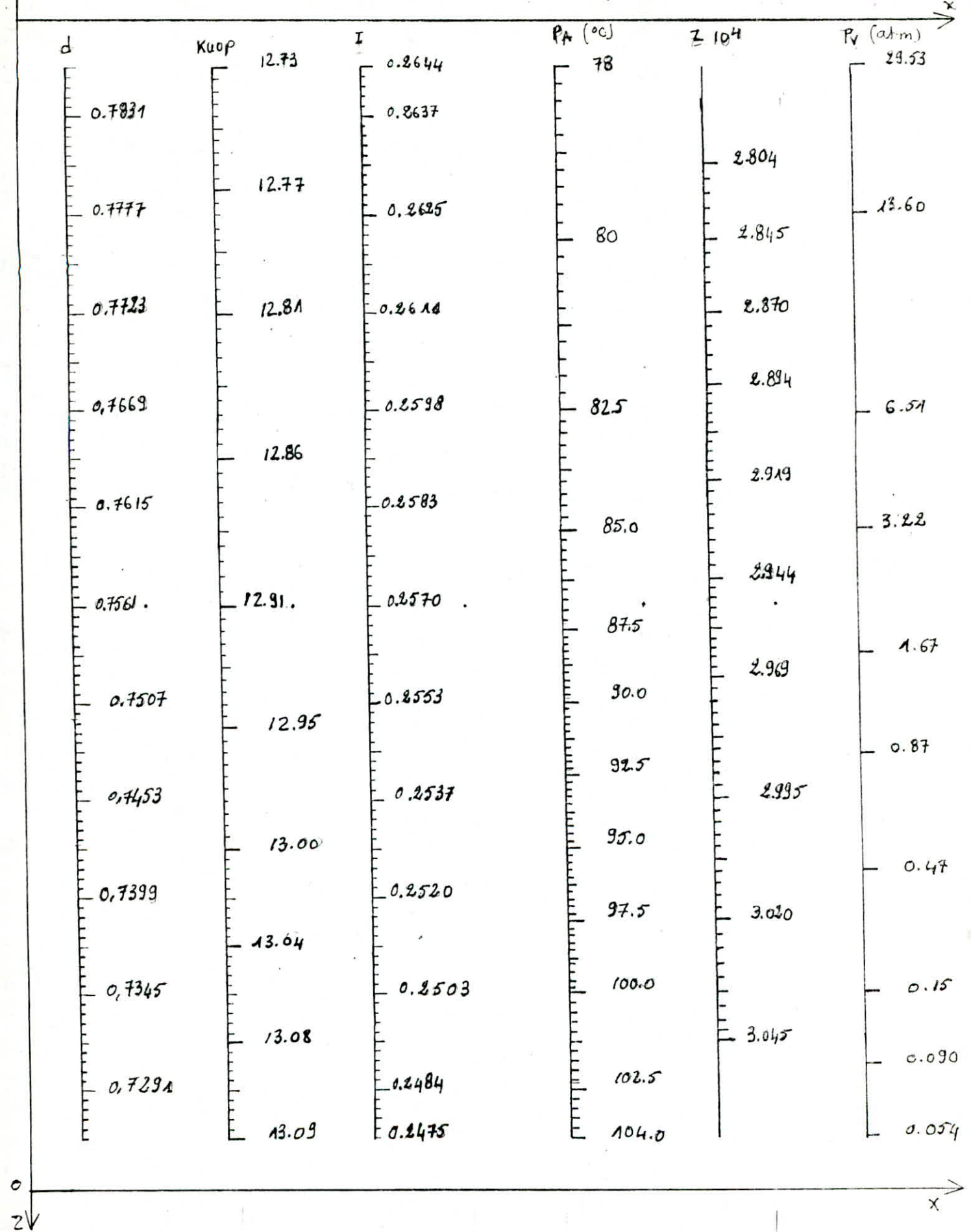
Les fonctions  $f_1, f_2, f_3, f_4$  sont des fonctions monotones d'où la continuité de leurs échelles.

## nomogrammes des paraffines

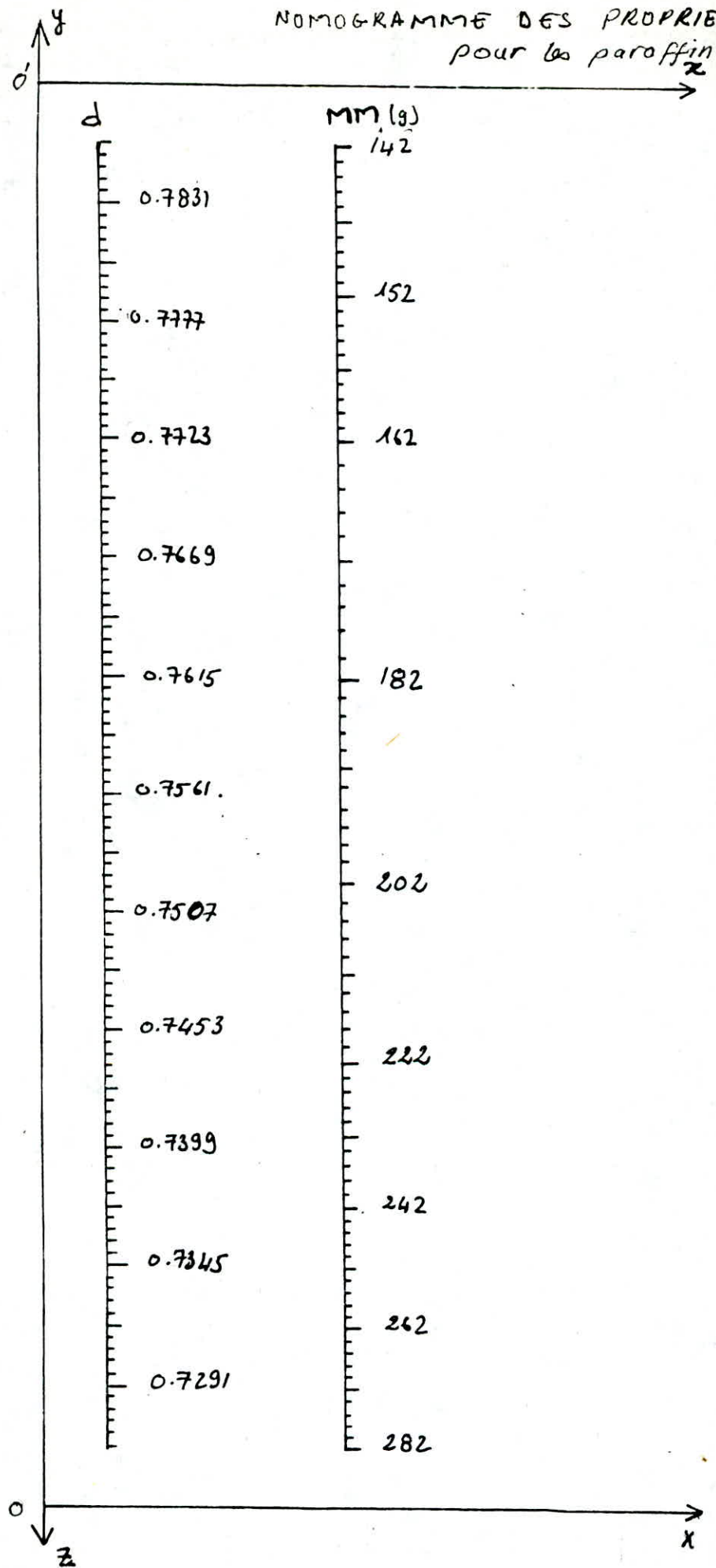
NOMOGRAMME DES PROPRIETES  $d$ ,  $n$ ,  $\text{VM}$ ,  $T_s$ ,  $G_g$ ,  $T_{eb}$   
pour les paraffines

$d$	$n$	$\text{VM}$ (ml/mol)	$T_s$ (dyn/cm)	$G_g$ ( $^{\circ}\text{C}$ )	$T_{eb}$ ( $^{\circ}\text{C}$ )
0.7831	1.4100	368.17	23.37	+36	174.12
0.7777		355.17		+28	194.12
0.7723	1.4150	315.17	23.87		214.12
0.7669		295.17	24.47	+20	
0.7615	1.4200	275.17	25.47	+10	234.12
0.7561.	1.4250	255.	25.87		254.12
0.7507				-2	
0.7453	1.4300	235.17	26.47	-12	274.12
0.7399				-22	294.12
0.7345	1.4350	315.17	27.47		314.12
0.7291			28.07		334.12
	1.4400	295.17	28.37	-32	343.12

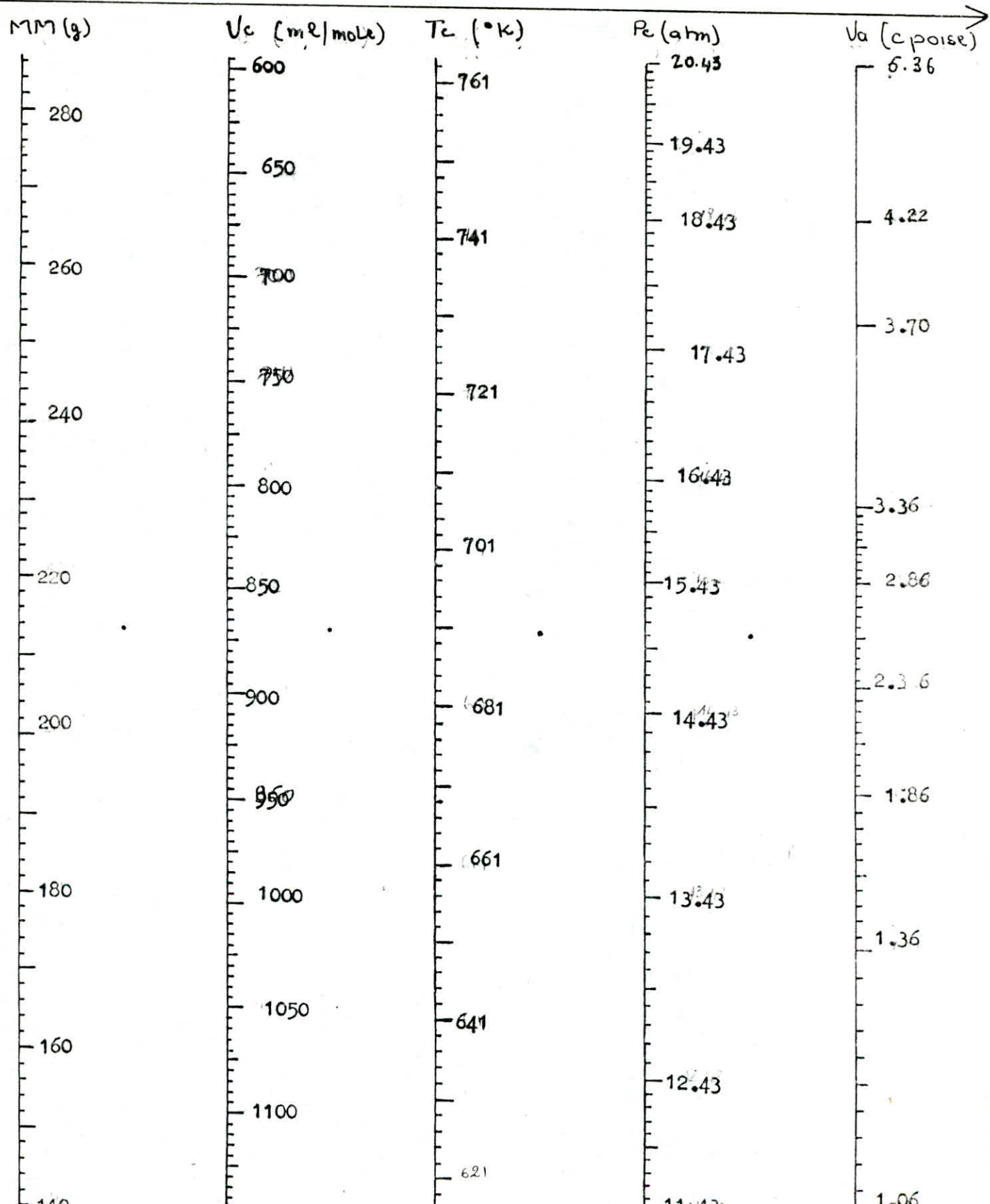
NOMOGRAMME DES PROPRIETES  $d$ ,  $K_{UOP}$ ,  $I$ ,  $P_A$ ,  $Z$ ,  $P_V$  pour les paraffines



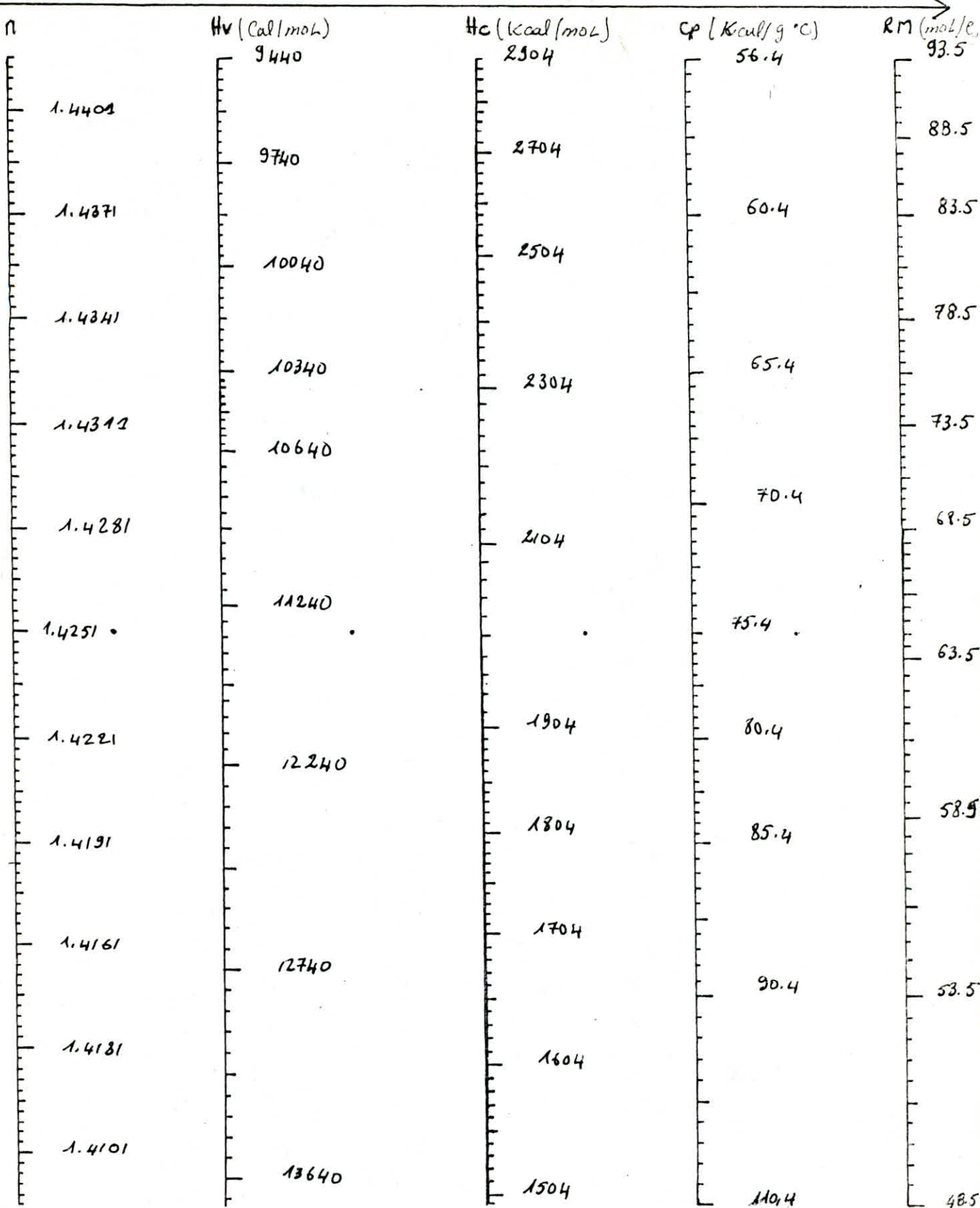
NOMOGRAMME DES PROPRIETES  $d$ ,  $Mm$   
pour les paraffines



Nomogramme des propriétés MM, Vc, Tc, P<sub>c</sub> et V<sub>a</sub>  
pour les n<sup>r</sup> paraffines

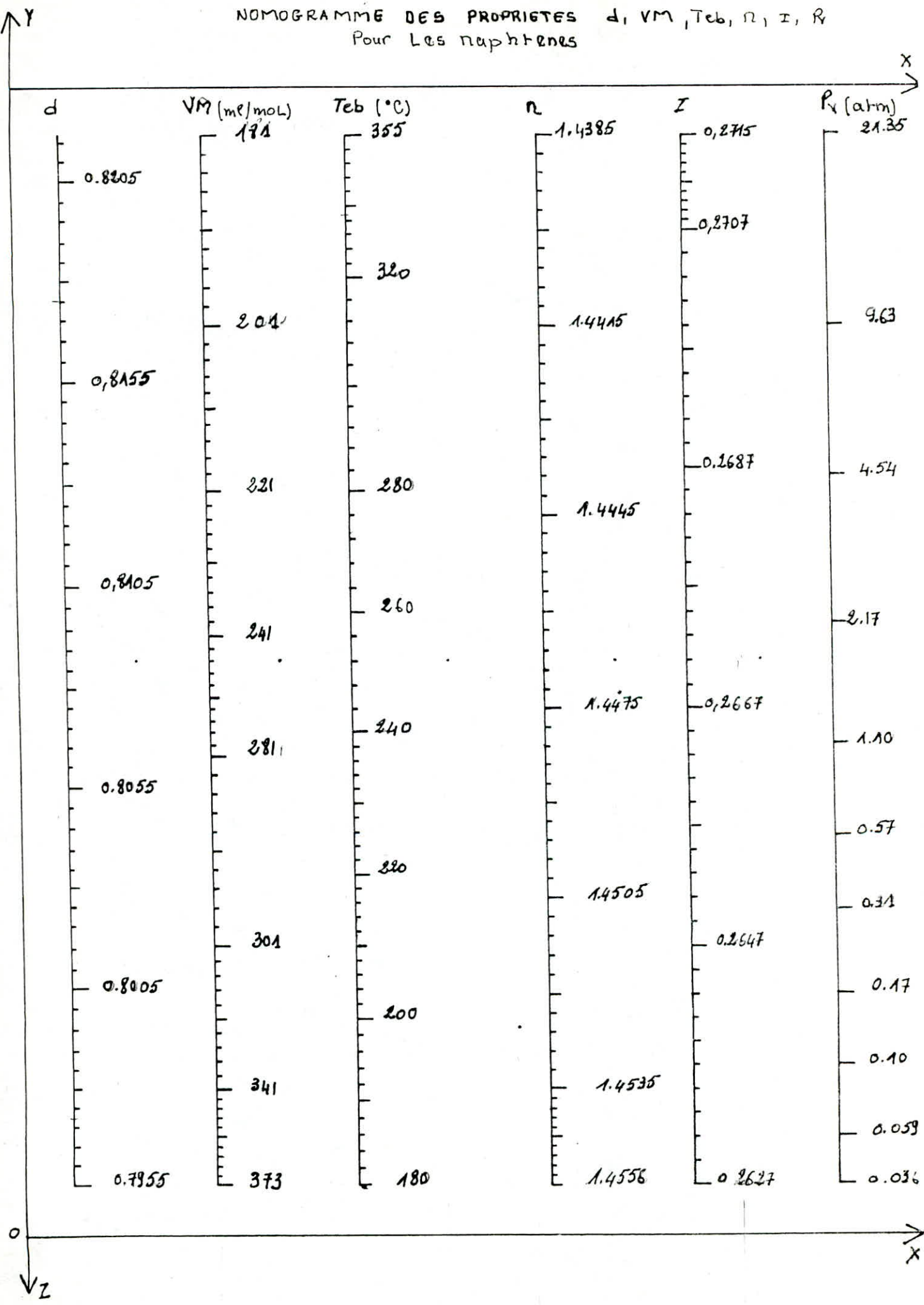


NOMOGRAMME DES PROPRIÉTÉS  $n$ ,  $H_V$ ,  $H_C$ ,  $C_p$  ET  $R_M$   
pour les paraffines

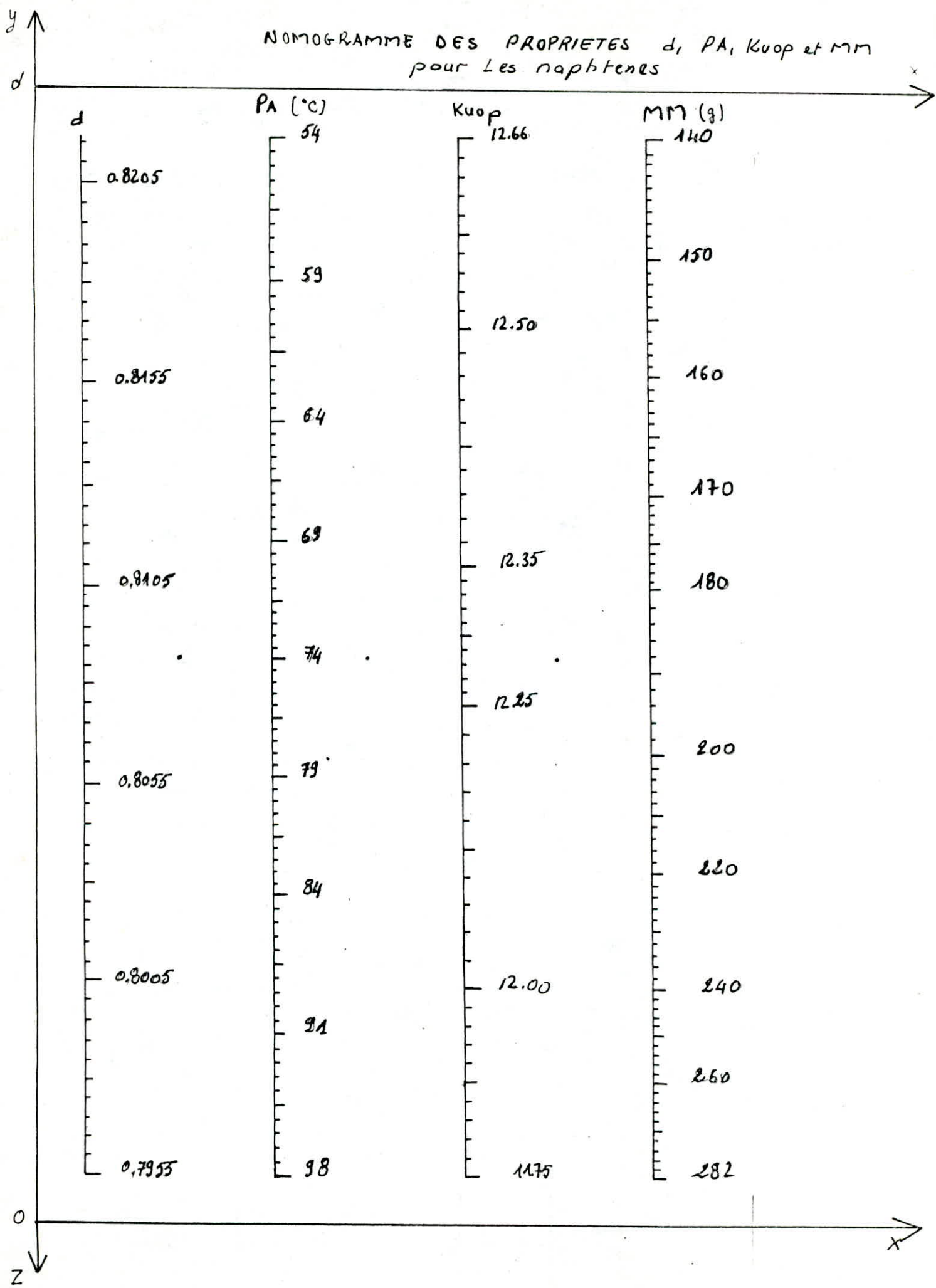


## nomogrammes des naphtènes

NOMOGRAMME DES PROPRIETES  $d$ ,  $\text{VM}$ ,  $T_{\text{eb}}$ ,  $n$ ,  $I$ ,  $R$   
Pour Les naphtènes



NOMOGRAMME DES PROPRIETES  $d$ , PA, KUOP et MM  
pour Les naphtenes



NOMOGRAMMES DES PROPRIÉTÉS  $\rho_m$ ,  $P_c$ ,  $T_c$ ,  $V_c$   
Pour les naphtènes

$\rho_m$  (g) 280

260

240

220

200

180

160

140

$P_c$  (atm) 25.36

22.36

20.36

19.36

18.36

17.36

16.36

15.36

14.36

13.36

13.15

$T_c$  ( $^{\circ}$ C) 512

498

478

458

438

418

398

388

378

$V_c$  (ml/mol) 487

587

687

787

887

987

1037

$V_a$  (cpoise) 9.31

8.31

7.31

4.31

2.31

1.31

Y

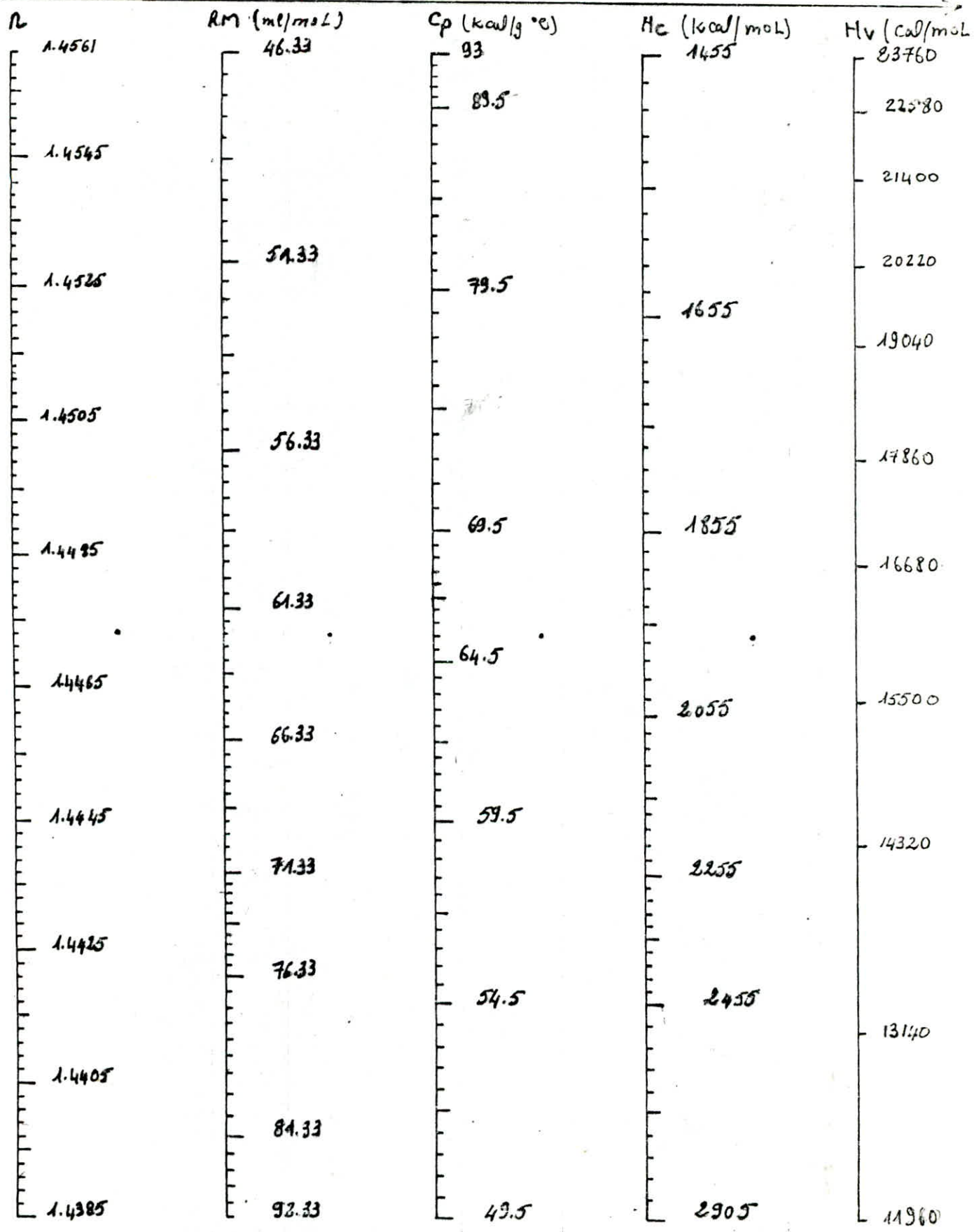
X



X

Z

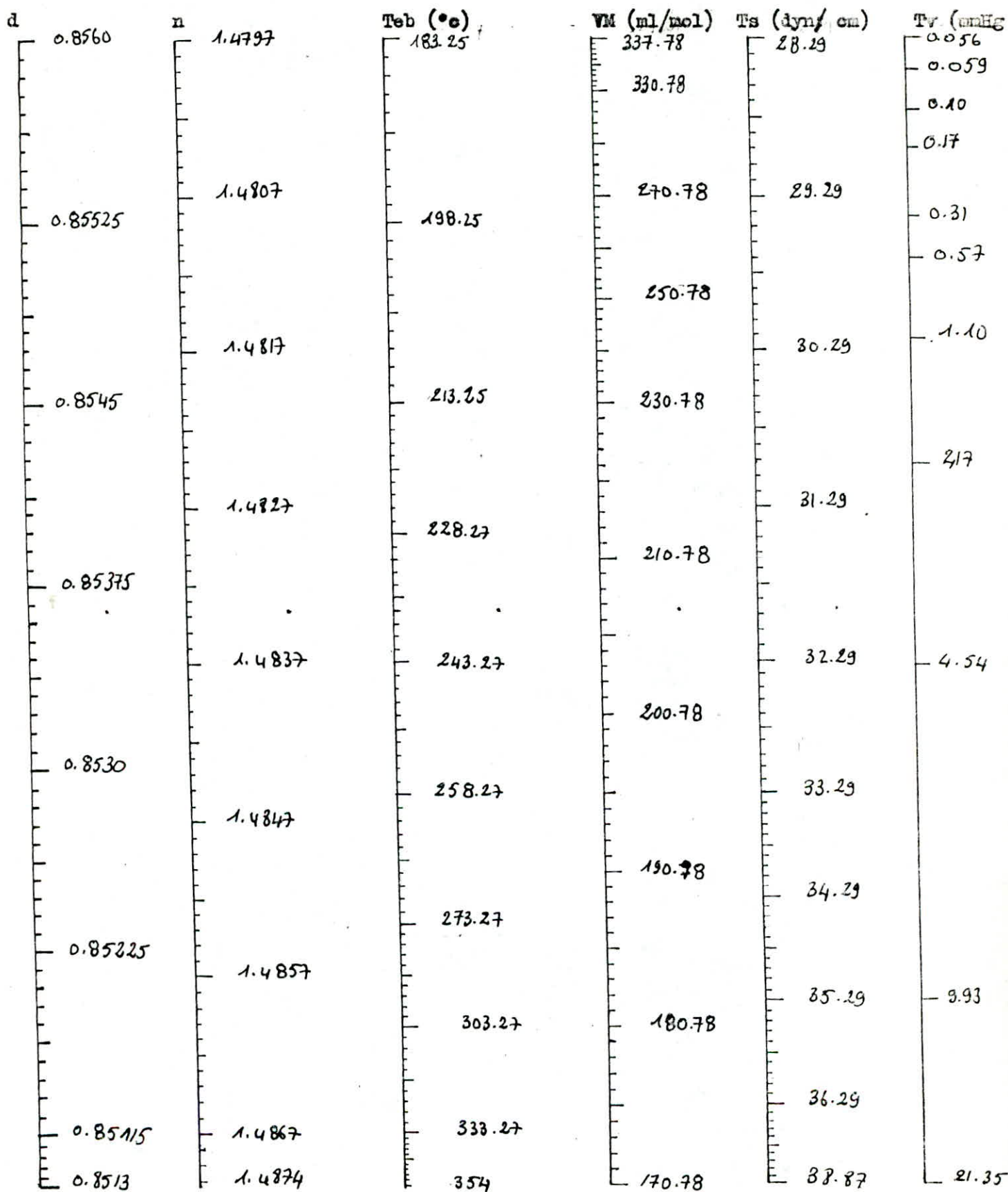
NOMOGRAMME POUR LES PROPRIETES  $n$ ,  $R_M$ ,  $C_p$ ,  $H_c$ ,  $H_v$   
Pour Les naphtènes

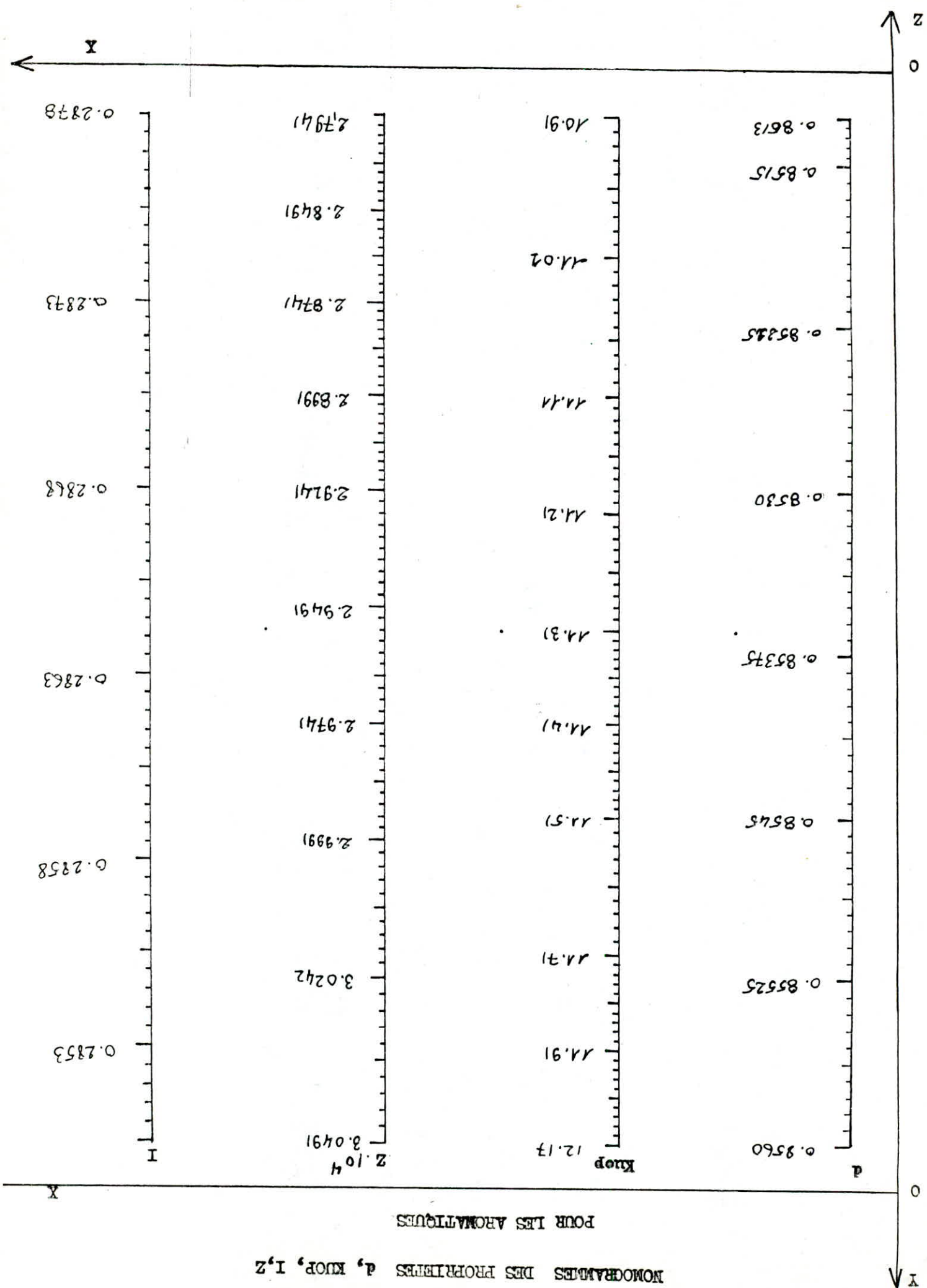


## nomogrammes des aromatiques

NOMOGRAMMES DES PROPRIETES  $d$ ,  $n$ ,  $T_{eb}$ ,  $\text{VM}$ ,  $T_s$ ,  $T_r$ 

POUR LES AROMATIQUES

 $x \rightarrow$ 0  
Z  
V $x \rightarrow$



NOMOGRAMME DES PROPRIETES  $d$ ,  $M_M$

POUR LES AROMATIQUES

$d$

$M_M(g)$

$X$

0,8560

274

0,85525

214

194

0,8545

174

0,85375

164

0,8530

154

0,85225

144

0,8515

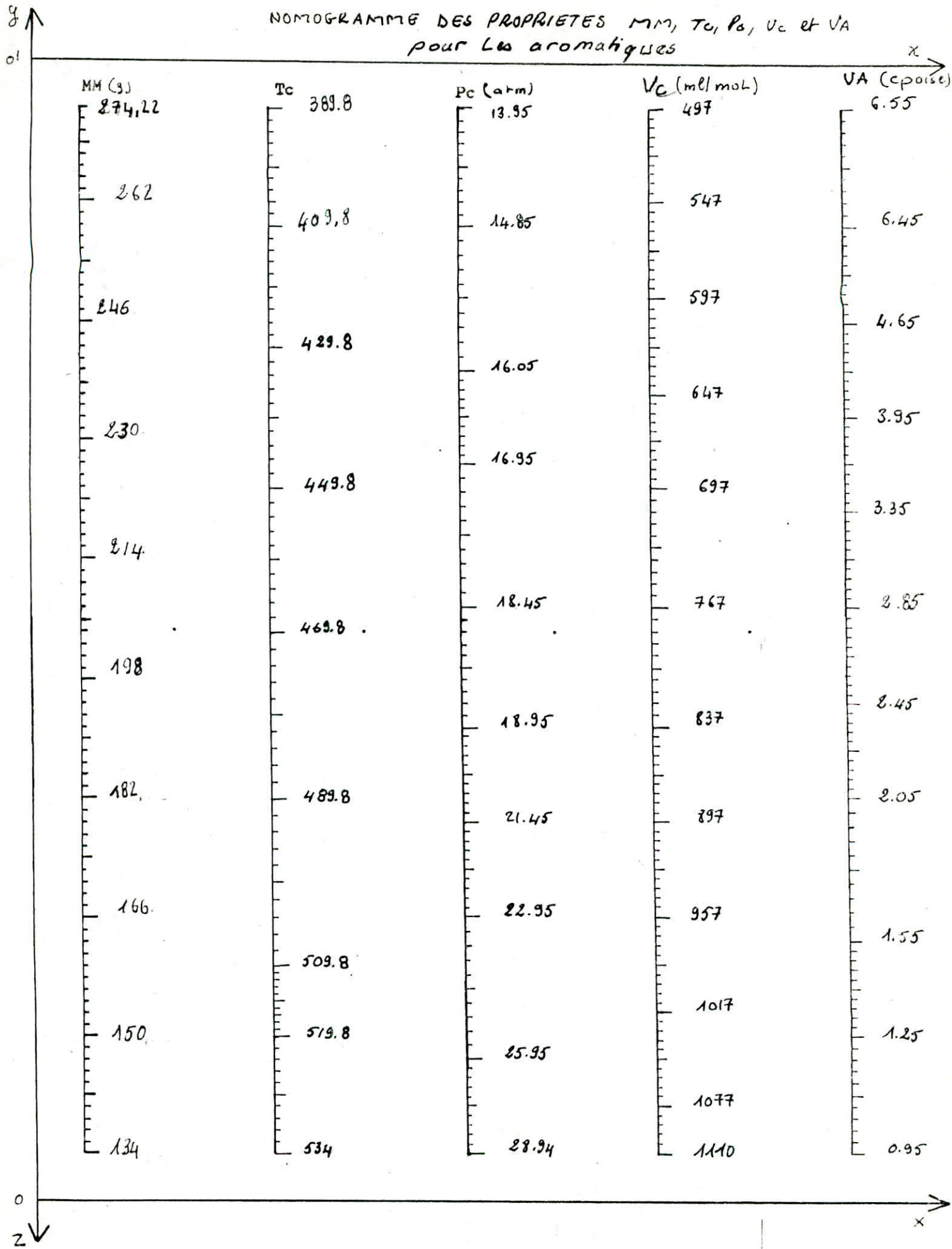
134

0,8513



$X$

NOMOGRAMME DES PROPRIETES MM, Tc, P<sub>c</sub>, V<sub>c</sub> ET VA  
pour les aromatiques



NOMOGRAMME DES PROPRIETES R, Hv, Cp,  
pour les aromatiques

R	Hv (Cal/mol)	Cp (kcal/g °C)
1.4874	14680	42.09
1.4867	14080	45.09
1.4860	13080	
1.4853	12080	50.09
1.4846		
1.4839	11080	55.09
1.4832	10580	60.09
1.4825		65.09
1.4818	10080	70.09
1.4811		85.09
1.4804		90.09
1.4797	9680	96.09

Y

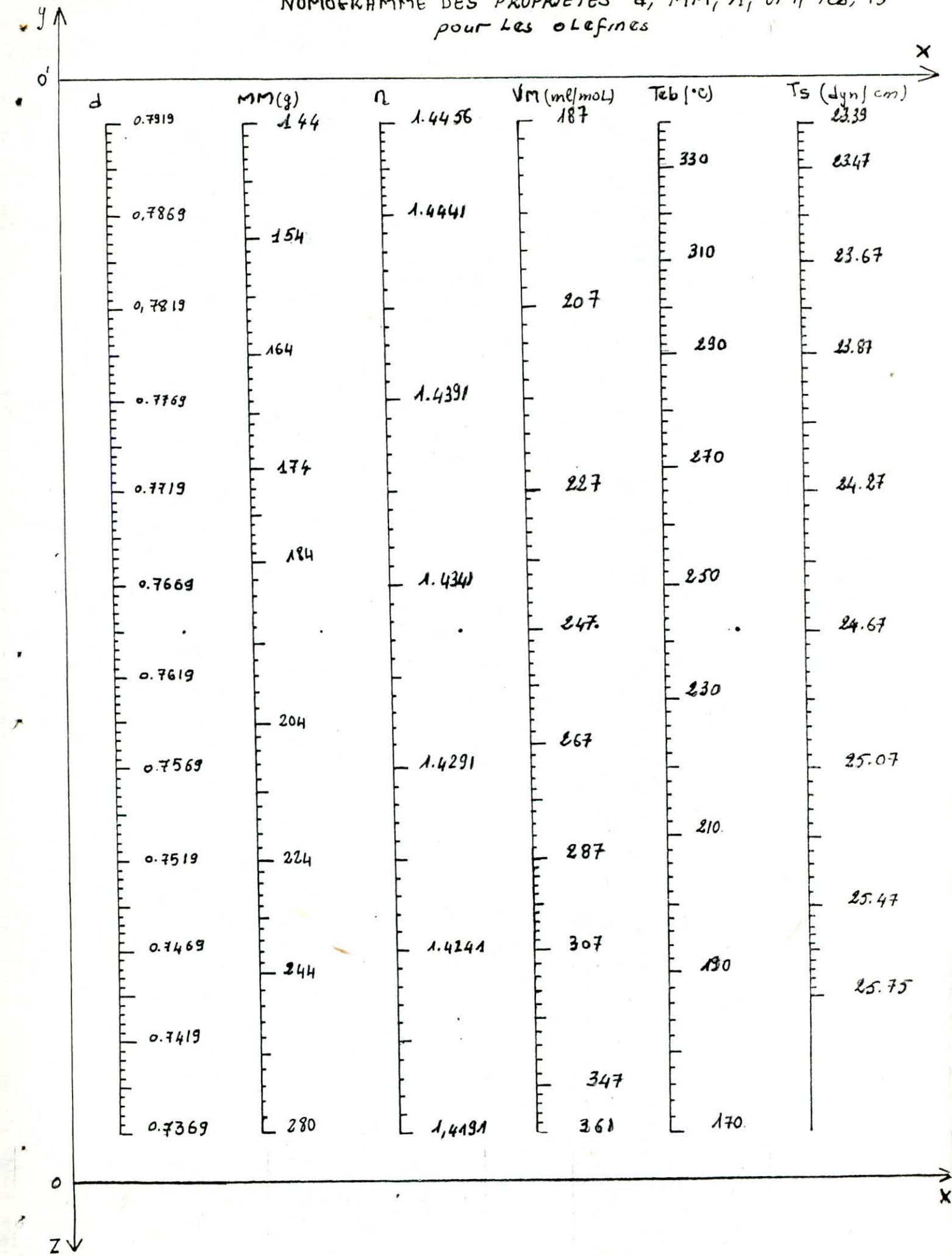
X

Z

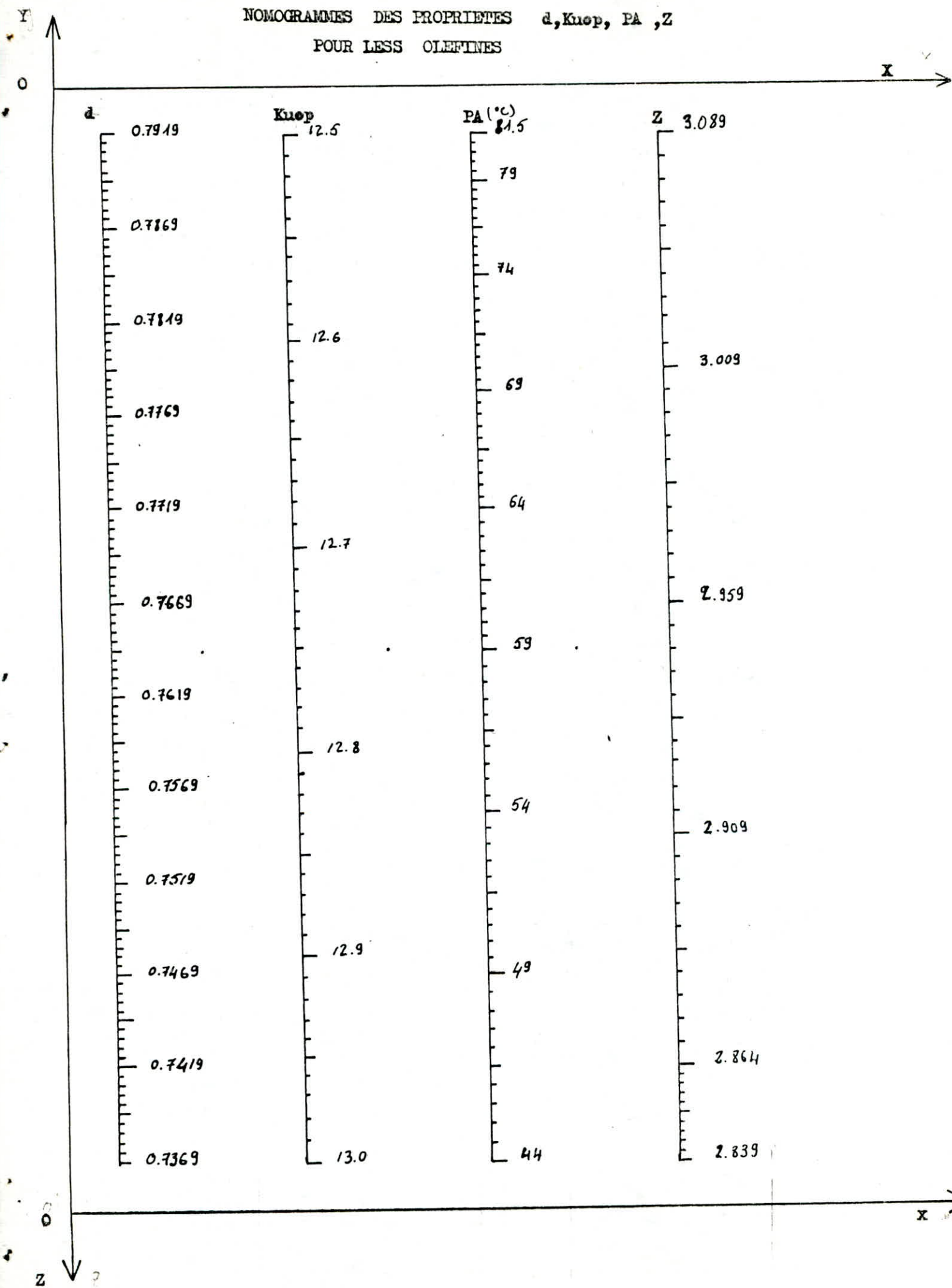
X

nomogrammes des olefines

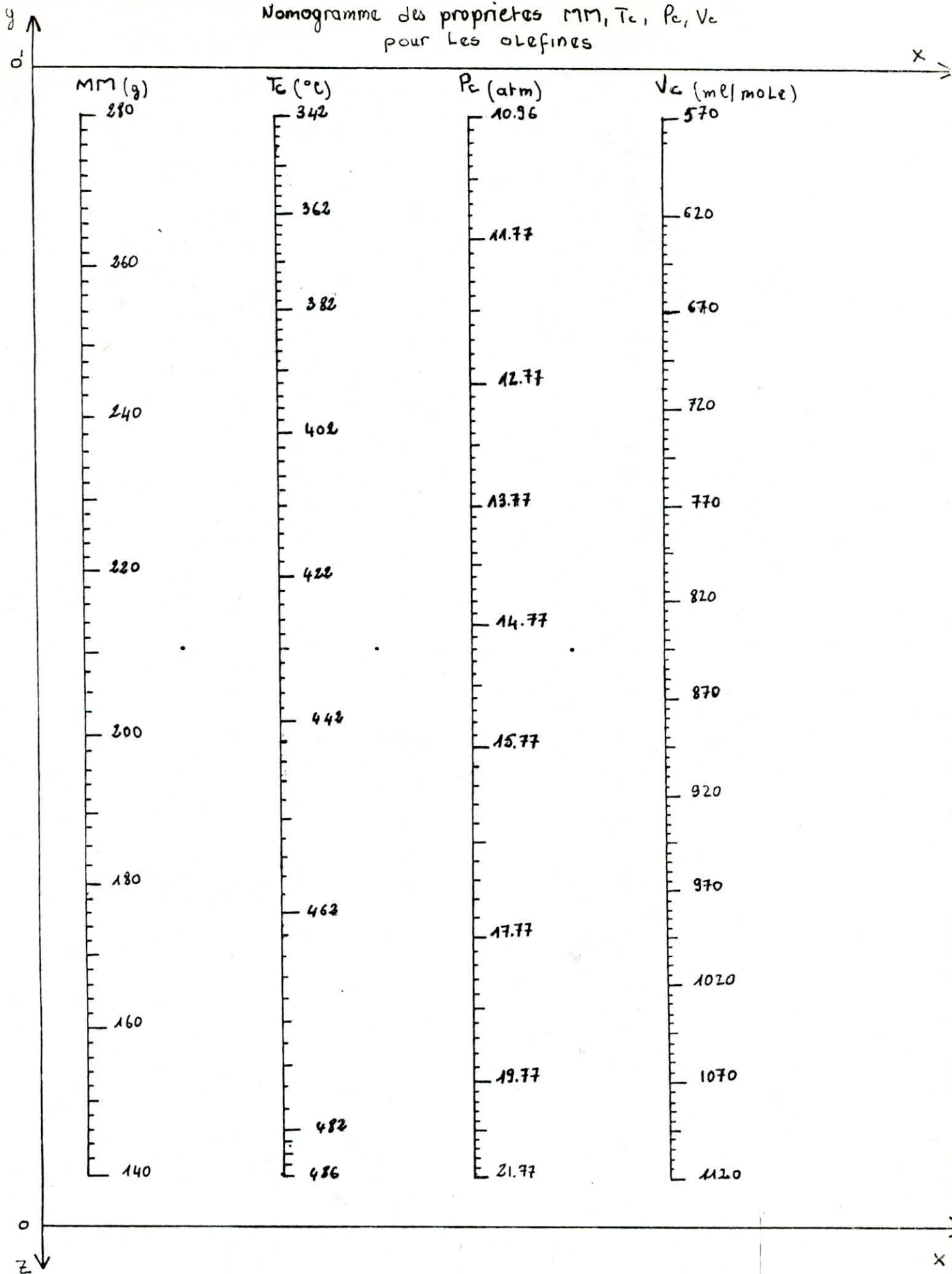
NOMOGRAMME DES PROPRIETES  $d$ ,  $M_M$ ,  $n$ ,  $V_M$ ,  $T_{cb}$ ,  $T_S$   
pour les Olefines



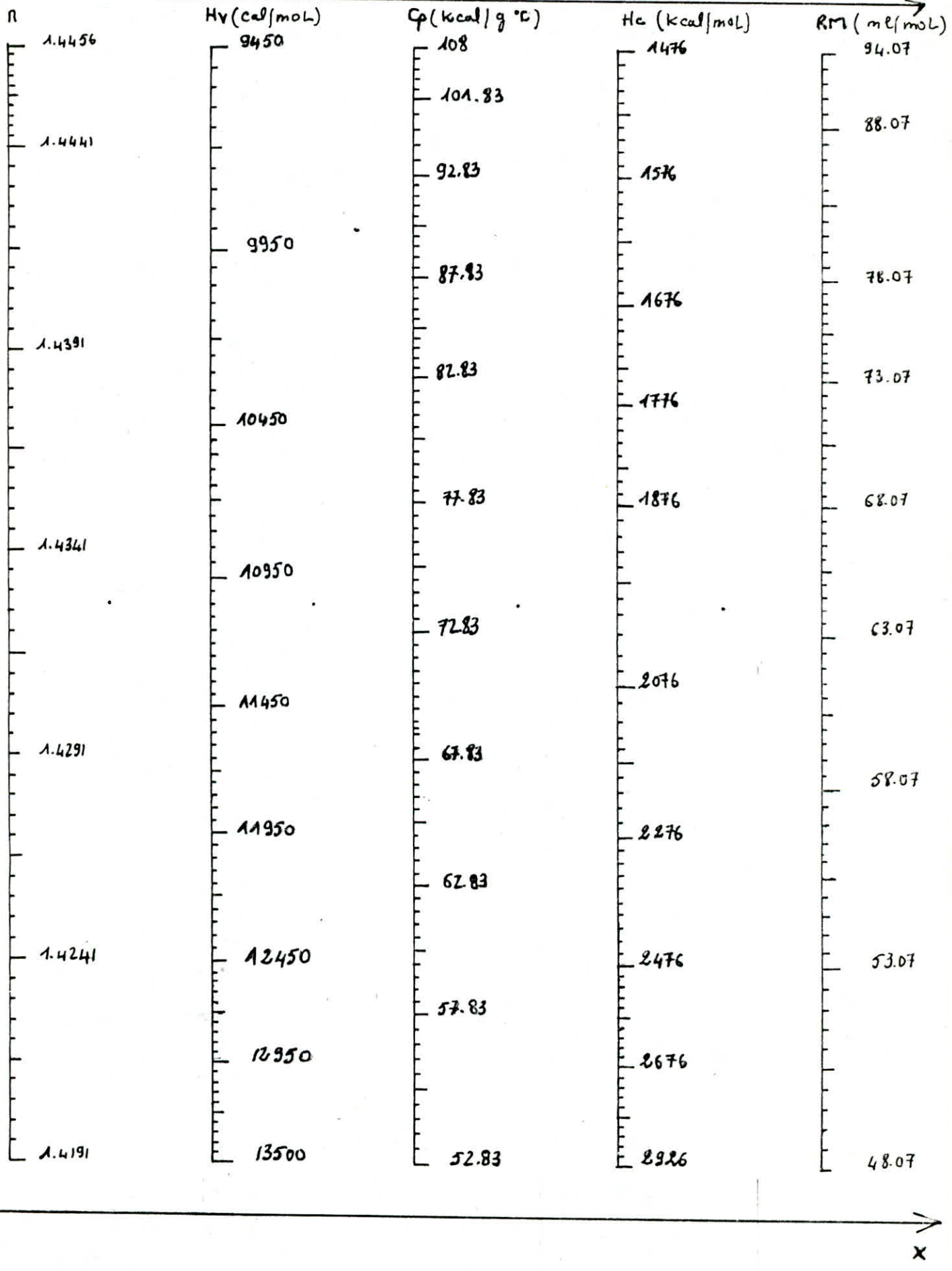
NOMOGRAMMES DES PROPRIETES  $d$ , Knop, PA , Z  
POUR LES OLEFINES



Nomogramme des propriétés MM, T<sub>c</sub>, P<sub>c</sub>, V<sub>c</sub>  
pour Les olefines



NOMOGRAMME DES PROPRIETES  $\eta$ ,  $C_p$ ,  $H_v$ ,  $H_c$ ,  $R_M$   
pour les OLEFINES



## VI APPLICATION DE LA NOMOGRAPHIE

### VI.1 INTRODUCTION

Grace à la méthode décrite dans la partie théorique nous avons pu tracer pour les quatres familles d'hydrocarbures les différents nomogrammes pour les propriétés physico chimiques qui sont les suivantes(Tc,Pc,Vc,d,Teb,Tv,n,MM,Hv,Cg,Cp,Hc,RM,Va,I,PA,Kuop,Ts,VM et Ts).

### VI.2 APPLICATION DES NOMOGRAMMES

Nous appliquons successivement ces nomogrammes en testant leurs validités ,abord pour les corps purs ,les mélanges de corps purs (uniquement pour les paraffines ) et ensuite pour les fractions pétrolières (quatres fractions issues de la distillation sous vide d'un résidu atmosphérique et un gas oil.)

### VI.3 APPLICATIONS AUX CORPS PURS

Connaissant par exemple la densité d'un hydrocarbure de chaque famille, nous pouvons en déduire toutes ces autres propriétés,en utilisant la la méthode décrite dans la partie théorique.

- Paraffine      n pentadécane    ( d = 0.7648 )
- Naphtene      n nonylcyclohexane ( d = 0.8129 )
- Aromatique      n nonylbenzene    ( d = 0.8521 )
- Olefine          1 pentadecene    ( d = 0.7729 )

Domaine de validité :

- Paraffine :      0.7262 - 0.7852
- Naphtene :      0.7955 - 0.8220
- Aromatique:      0.8513 - 0.8561
- Olefine :        0.7369 - 0.7916

À partir de la connaissance de la densité pour les quatres familles nous allons en déduire les différentes propriétés et comparer ensuite les valeurs obtenues par nomographie aux valeurs obtenues par calculs ou expérimentales ayant servies à l'établissement de ces nomogrammes, comme le montre les tableaux suivants.(tableau VI.1 et tableau VI.2)

PROPRIETE		VALEUR CALCULEE	N PENTA- DECANE	N NONYL- CYCLOHEXANE	N NONYL- BENZENE	1 PENTA- DECENE
Tc (°C)		EXP NOM	706 690	457 450	468 469.8	433 432
		ECART %	2.26	1.53	0.38	0.2
Pc (atm)		EXP NOM	15.07 15.13	17.30 17.36	18.75 18.75	14.94 14.97
		ECART %	0.4	0.34	0.32	0.2
Vc (ml/mole)		EXP NOM	865 865	762 762	790 781	845 845
		ECART %	0.0	0.0	1.13	0.0
MM (g)		EXP NOM	212 213	210 212	204 204	210 2132
		ECART %	0.47	0.9	0.0	1.42
Tab (°C)		EXP NOM	270 282	281.5 286	282 285.27	268.39 276
		ECART. %	4.4	1.60	1.15	2.83
n		EXP NOM	1.4297 1.4280	1.4499 1.4495	1.4817 1.4813	1.4366 1.4371
		ECART %	0.11	0.03	0.02	0.03
PA		EXP NOM	92 92	81 78	- -	65.0 65.5
		ECART%	0.0	3.7	-	0.77
I		EXP NOM	0.2593 0.2592	0.2686 0.2679	0.2859 0.2856	- -
		ECART%	0.03	0.26	0.10	-

(tableau V.1)

EXP : correspond aux valeurs obtenues par calculs.

	VALEUR	N PENTA-	N NONYL	N NONYL-	1 PENTA
PROPRIETE	CALCULEE PAR	DECANE	CYCLOHEXANE	BENZENE	DECENE
Hv	EXP	12700	17860	12320	11920
kcal/mol	NOM	12240	-	12580	11800
	ECART %	3.62	-	2	1.0
Hc	EXP	2233	2184	2058	2205
kcal/mol	NOM	2184	2185	-	2196
	ECART %	2.19	0.045	-	0.4
Cp	EXP	83.40	76.83	69.18	80.82
cal/g C	NOM	83.40	73.50	72.5	80.83
	ECART %	0	4.33	4.70	0.012
RM	EXP	71.70	69.54	68.32	71.27
	NOM	72.00	69.00	-	70.57
	ECART %	0.41	0.77	-	0.98
Va	EXP	2.56	4.31	2.79	2.23
cohesive	NOM	2.56	4.91	2.77	-
	ECART %	0	13.9	0.71	-
Ts	EXP	26.64	38.16	34.86	25.36
dyne/cm	NOM	26.69	-	35.09	25.23
	ECART %	0.18	-	0.65	0.51
VM	EXP	298	278.0	259	278
ml/mole	NOM	291	268.0	260	276
	ECART %	2.34	3.6	0.38	0.71
KUOP	EXP	12.92	12.29	11.68	12.77
	NOM	12.96	12.34	11.71	12.83
	ECART %	0.30	0.4	0.25	0.46

(tableau V.2)

EXP : correspond à la valeur obtenue par calcul ou par abaque

### **Commentaire.**

De l'étude de ces seize propriétés présentées dans les tableaux (V.1 et V.2) à savoir ( Tc,Pc,Vc,MM,n,PA,I,Hv,Hc,Cp,RM,Va,Ts,VM,et KUOP ) il vient pour les différentes familles (paraffines, naphtene, aromatiques olefines ), l'écart le plus important est donné pour la viscosité des naphtènes (ecart pour le n nonyl-cyclohexane est égal à 13.9%) on peut noter aussi certains écarts plus ou moins importants à savoir la température d'ébullition des paraffines (ecart pour n pentadecane égal à 4.4%) la chaleur spécifique des aromatiques et des naphtènes (ecart pour le n nonyl-benzene égal à 4.70 et écart pour n nonyl cyclohexane égal à 4.33 ) ,encore qu'ils ne soient pas significatifs.On peut donc dire que les nomogrammes reflètent fidèlement les différentes propriétés, il suffit comme le montre cet exemple d'en connaître une seule propriété pour pouvoir en déduire les autres et cela avec une précision très acceptable.

En définitive,pour les corps purs en comparant les valeurs trouvées par nomogrammes et par expérience ,nous obtenons des résultats satisfaisants à l'exception de certaines propriétés(Va,Teb,Cp) dont le pourcentage d'erreur est supérieur à 4%.

## V.4 APPLICATION A UN MELANGE DE CORPS PURS

### V.4.1 Introduction

Pour les compositions massiques et volumiques on doit les convertir en fractions molaires du fait de l'utilisation de ces dernières dans les relations thémodynamiques et corrélations empiriques donnant les propriétés des mélanges.

Nous donnons les formules permettant de convertir les données massiques et volumiques en données molaires.

N : nomogramme

X : fraction molaire

Y : fraction massique

Z : fraction volumique

M : masse volumique

VM : volume molaire

$$Y \text{ A } X \quad X_1 = M_2 Y_1 / (M_2 Y_1 + M_1 Y_2) \quad X_2 = M_1 Y_2 / (M_2 Y_1 + M_1 Y_2)$$

$$Z \text{ A } X \quad X_1 = V_2 Z_1 / (V_2 Z_1 + V_1 Z_2) \quad X_2 = V_1 Z_2 / (V_2 Z_1 + V_1 Z_2)$$

### V.4.2 Application aux mélanges de trois paraffines.

Nous avons étudié un mélange équivolumique de trois paraffines composé du n décane, n tétradécane et n hexadécane.

#### Propriétés déterminées expérimentalement du mélange des trois paraffines

Densité  $d = 0.7500$

Indice de réfraction  $n = 1.4246$

Point d'aniline  $PA = 89^\circ C$

Point de congélation  $Cg = -7^\circ C$

Connaissant la densité du mélange expérimentalement nous déduirons toutes les autres propriétés du mélange des nomogrammes relatifs aux paraffines, on comparera ces valeurs aux résultats obtenus en utilisant les règles d'additivité des propriétés calculées à partir de la connaissance des fractions volumiques et molaires du mélange. Nous donnerons ici la composition volumique et molaire du mélange.

#### Composition volumique

Z1: fraction volumique en décane,  $Z1 = 0.33$

Z2: fraction volumique en tétradécane  $Z2 = 0.33$

Z3: fraction volumique en hexadécane  $Z3 = 0.33$

#### Composition molaire

X1: fraction molaire en décane,  $X1 = 0.41$

X2: fraction molaire en tétradécane  $X2 = 0.36$

X3: fraction molaire en hexadécane  $X3 = 0.27$

Les résultats obtenus sont donnés dans le tableau suivant (tableau V.3)

PROPRIETE	Z	N	X
n	1.4229	1.4240	1.4783
ecart %	0.07	-	3.67
VM(ml/mol)	252.59	238.67	255.68
ecart %	5.51	-	6.65
Ts( dyne/cm)	25.51	25.66	26.26
ecart %	0.53	-	2.43
Cg( K)	270.34	267	277.64
ecart %	1.23	-	3.8
Teb( C)	238.14	238.12	240.08
ecart %	0.0	-	0.81
Kuop	12.85	12.85	13.35
ecart %	0.12	-	3.60
I	0.2549	0.2547	0.2646
ecart %	0.09	-	3.64
PA( C)	87.33	83.75	89.62
ecart %	4.10	-	6.55
Z	2.9473E-4	2.9768E-4	3.0766E-4
ecart %	0.99	-	3.24
MM(g)	189.22	180	191.12
ecart %	4.87	-	5.82

(tableau V.3)

PROPRIETE	Z	N	X
Hv (cal/mol)	11700	10940	11410
ecart %	2.05	-	4.14
Hc (kcal/mol)	1990.4	1894	5.79
ecart %	4.83	-	5.79
Cp (cal/g °C)	74.39	71.4	75.17
ecart %	4.2	-	5.01
RM	63.97	61.10	64.64
ecart %	4.64	-	5.63
Vc (ml/mol)	773.33	745	781.9
ecart %	3.66	-	4.71
Tc (K)	671.46	656	692.51
ecart %	2.30	-	5.27
Pc (atm)	17.0	17.33	18.12
ecart %	1.94	-	4.38

(tableau V.3 suite)

X : valeur de la propriété calculée en utilisant les fractions molaires

Z : valeur de la propriété calculée en utilisant la fraction volumique

N : valeur obtenue par les nomogrammes

#### Commentaire

Pour les mélange de corps purs étudié les écarts existant entre les valeurs calculées et les valeurs déduites des nomogrammes ne dépassent pas 6% , cela nous donne une bonne assurance quand à l'application de ces nomogrammes aux mélanges de corps purs.

On remarque qu'il y a une bonne concordance entre les valeurs obtenues en utilisant les fractions volumiques et les valeurs déduites des nomogrammes.

## V.5 APPLICATION AUX FRACTIONS PETROLIERES

En considérant la fraction pétrolière comme un mélange complexe et en connaissant seulement une propriété ( exemple: Teb) et la composition de la fraction ( en paraffines ,naphtenes et aromatiques ) déterminée par l'une des méthodes empiriques ou par (CPG), on pourra déduire les autres propriétés en utilisant les règles d'additivités des propriétés.  
A titre d'exemple nous allons déterminer les principales propriétés des différentes familles d'hydrocarbures pour quatre fractions pétrolières et pour le gas oil et connaissant la température d'ébullition. Ces propriétés sont déterminées en considérant que la fraction pétrolière est d'abord une paraffine ensuite un naphtène , puis un aromatique, puis la propriété moyenne de la fraction sera calculée en admettant l'additivité des propriétés des fractions constituées .

$$\text{Prop.de la fraction} = \sum \text{prop.fraction } X_p + \text{prop.fraction } X_n + \text{prop.fraction } X_a \\ (\text{paraf}) \qquad \qquad \qquad (\text{naph}) \qquad \qquad \qquad (\text{arom})$$

Fraction 1	Teb = 221 °C
Fraction 3	Teb = 261.5 °C
Fraction 5	Teb = 312.15 °C
Fraction 6	Teb = 336.0 °C
Gasoil	Teb = 273

Domaines de validité des nomogrammes:

Paraffines	:	174.12	-	343.8
Naphtenes	:	180.94	-	355.0
aromatiques	:	170.78	-	354.0

Les résultats sont donnés dans le tableau suivant (tableau V.4)

	VALUEUR	FRACTION 1	FRACTION 3	FRACTION 5	FRACTION 6	GAS OIL
PROPRIETE CALCULEE		1	3	5	6	
d	EXP	0.7966	0.8195	0.8306	0.8424	0.8175
	NOM	0.811	0.8080	0.7946	0.7975	0.7804
	ECART %	1.82	1.39	4.32	4.48	4.5
n	EXP	1.449	1.4610	1.4670	1.4722	1.4669
	NOM	1.4548	1.4544	1.4454	1.4445	1.4369
	ECART %	0.4	0.3	1.47	1.88	2.04
Tc (C)	EXP	393.3	446.4	488.9	512.5	455
	NOM	400	437.57	470.87	491.17	455
	ECART %	1.7	1.97	9.3	4.06	2.16
Pc (atm)	EXP	22.1	18.3	14.9	13.6	18.06
	NOM	21.93	17.65	15.0	13.15	19.33
	ECART %	0.77	3.5	0.95	3.30	1.49
MM (g)	EXP	164.0	202	222	275	218
	NOM	160.5	198	216	270	214
	ECART %	1.52	1.48	2.70	1.81	1.83
KUOP	EXP	12.0	12.04	12.25	12.24	12.20
	NOM	11.84	12.26	12.70	12.56	12.6
	ECART %	1.33	1.83	3.71	2.61	3.27
I	EXP	0.263	0.274	0.2774	0.2801	0.2774
	NOM	0.2722	0.2720	0.2675	0.2671	0.2630
	ECART %	3.53	0.07	3.56	4.64	5.19
Cp cal/g C	EXP	59.94	75.38	91.9	107.34	72.60
	NOM	57.51	72.07	89.83	104.12	70.77
	ECART %	4.05	4.39	2.25	3.0	2.50

(tableau V.4)

EXP: correspond aux valeurs obtenues par expérience ou par calcul.

NOM: correspond aux valeurs obtenues par les nomogrammes,

## Commentaire

Sur les propriétés présentées, pour les fractions pétrolières et le gas oil, les écarts obtenus entre les valeurs expérimentales et les valeurs obtenues par les nomogrammes n'excèdent pas 5% ce qui nous donne accord très acceptable.

D'une façon générale, l'application de ces nomogrammes moyennant certaines précautions, peut être d'un grand secours quand il faut déduire rapidement les propriétés des fractions pétrolières de composition connues. On peut donc conclure qu'en absence de mesures expérimentales longues et coûteuses, on peut se fier à ces nomogrammes pour la détermination des propriétés suivantes ( $d, n, T_c, P_c, C_p, K_{uop}, I, M_M$ ,). Il faut signaler enfin, qu'il nous semble que l'erreur n'est pas tant due à l'incertitude de la construction des nomogrammes, qu'aux erreurs dues à l'hypothèse d'additivité, ou à la composition des fractions déterminées par CPG, ou aux équations utilisées à l'élaboration de ces nomogrammes, qui sont obtenues par la méthode des moindres carrés.

## C O N C L U S I O N   G E N E R A L E

Pour l'analyse des coupes pétrolières où on a un grand nombre de constituants, des méthodes longues et dépendant d'un matériel coûteux sont utilisées. Dans notre étude nous donnons une approche graphique qui permet un gain de temps important pour l'obtention des valeurs des propriétés physico-chimiques des échantillons pétroliers.

Nous avons établi des nomogrammes pour vingt propriétés des hydrocarbures des quatre différentes familles ( paraffines, naphtènes, oléfines et aromatiques ) dont la température d'ébullition varie entre 170 et 354 degré celsius.

Ces nomogrammes permettent de retrouver, connaissant une propriété facilement accessible expérimentalement, les autres caractéristiques des mélanges et des fractions pétrolières.

Ceci présente un aspect pratique et économique pour la détermination des propriétés avec une bonne précision.

La comparaison avec les données expérimentales traduit la fiabilité de la méthode pour les mélanges de corps purs pour et les fractions pétrolières.

## B I B L I O G R A P H I E

\*\*\*\*\*

- [1] S.E CHITOUR ,corrélations sur le pétrole brut et les fonctions pétrolières tome 2 Edit O P U 1983
- [2] PERRY ET CHILTON ,chemical engineers hand boock, 5th edition MAC GRAW-HILL 1973
- [3] VIDAL ,thermodynamique: méthodes appliquées au raffinage et au génie chimique, tome 1, 2 technip,1974
- [4] DEAN ,languages hand boock of chemistry,Edit MAC GRAW-HILL NEW YORK 1984
- [5] AMERICAIN PETROLEUM INSTITUTE (A.P.I),selected value of properties of hydrocarbons and related compounds ( projet 44 )
- [6] P.WUITIER,le pétrole raffinage et génie chimique tome 1>Edit ,TECHNIP 1972
- [7] R.C REID, J.M,PRAUSNITZ ET T.K SHERWOOD,the properties of gases and liquids,3rd Edit MAC GRAW-HILL , 1977
- [8] MAXWELL data book of hydrocarbons Edit MAC GRAW-HILL
- [9] NICHOLS ET P.CHOPPEY ,Editor hand book of chemical engineering Edit MAC GRAW-HILL
- [10] V.PROSKOURIAKOV ET A.DRAVKINE la chimie du pétrole et du gaz,Edit MOUSCOU 1981
- [11] G.KHOVANSKI, éléments de nomographie,Edit MOUSCOU 1981
- [12] O.DERMOUNE,Y.BERRAH,M.MEDJDOUB,M.RAHMOUN ET D.EL HADI projet de fin d'études,genie chimique,(jan 85,juin 85,jan 86,juin 88)
- [13] M.HADJ AHMED projet de fin d'études (juin 89)
- [14] R.MOUSSAOUI,thèse de magister E.N.P 1986
- [15] O.KITOUS thèse de magister E.N.P mai 1990

\*\*\*\*\*

